

کنترل گام متغیر برای یک کوادروتور با استفاده از کنترل کننده‌های خطی سازی فیدبک و خطی سازی فیدبک

تطبیقی مستقیم*

مقاله علمی - پژوهشی

مریم مسلسل^(۱)مهدی خدابنده^(۲)

چکیده در این مقاله به بررسی ساختار دینامیکی کوادروتور گام متغیر و طراحی کنترل کننده مناسب بر اساس مدل سازی های ریاضی پرداخته شده است. کوادروتور گام ثابت به دلیل ساختار دینامیکی ساده تر نسبت به سایر مدل ها بیشتر مورد توجه تحقیقات علمی قرار گرفته است. این نوع از کوادروتورها در عین سادگی نسبی، محدودیت هایی نظیر کاهش مداومت پروازی و انجام مانورهای مختلف پروازی را به همراه دارند. می توان با استفاده از ملخ های گام متغیر در یک کوادروتور، محدودیت های یاد شده را به طور نسبی کاهش داد. در این مقاله، ابتدا به بررسی ویژگی های ملخ های گام متغیر در مقایسه با ملخ های گام ثابت برای یک کوادروتور پرداخته شده است. در ادامه از روش خطی سازی فیدبک و خطی سازی فیدبک مستقیم جهت کنترل کوادروتور گام متغیر استفاده شده است. در نهایت نیز نتایج حاصل از طرح کنترلی پیشنهادی از طریق شبیه سازی با نرم افزار MATLAB بررسی شده است. جهت بررسی بهتر عملکرد کنترل کننده های طراحی شده، نتایج شبیه سازی با روش های PID و دینامیک معکوس غیرخطی (NID) و مدل لغزشی و مدل لغزشی تطبیقی در شرایط تغییر جرم کوادروتور مقایسه شده است. نتایج شبیه سازی نشان می دهد که اتخاذ این راهبرد تطبیقی اجازه می دهد تا کوادروتور جهت گیری های زمان متغیر و دستورات ارتفاع را به طور دقیق تری، در حضور اغتشاشات و یا نامعینی های پارامتری، در مقایسه با کنترل کننده های خطی سازی فیدبک غیر تطبیقی، دنبال کند و همچنین نشان می دهد که کنترل کننده های خطی سازی فیدبک تطبیقی و مدل لغزشی تطبیقی به ترتیب در مقایسه با کنترل کننده های خطی سازی فیدبک، مدل لغزشی، PID و NID ردیابی دقیق تر و با خطای کمتری دارند.

واژه های کلیدی کوادروتور گام متغیر، مدل سازی، کنترل خطی سازی فیدبک، کنترل خطی سازی فیدبک تطبیقی مستقیم.

Variable-Pitch Control of a Quadrotor Using Feedback Linearization Controller and Direct Adaptive Feedback Linearization Controller

M. Mosalsal

M. Khodabandeh

Abstract In this paper, the dynamic structure of variable pitch quadrotor and the design of a suitable controller based on mathematical modeling have been studied. The fixed pitch quadrotor because of having a simpler dynamic structure than other models has been the focus of scientific studies. This kind of quadrotors, despite their relative simplicity, creates limitations such as shortening the flight time and various maneuvers. In this paper, at first, the characteristics of variable pitch propeller are studied and compared with the fixed pitch propeller for a quadrotor. In continue, a Feedback Linearization Controller and a Direct Adaptive Feedback Linearization Controller are used to control the Variable-Pitch quadrotor. Ultimately, the results of the proposed control are investigated via MATLAB software simulation. To better evaluate the performance of the designed controllers, the simulation results are compared with PID and Nonlinear Inverse Dynamics (NID) and Sliding Mode and Adaptive Sliding Mode controllers in the mass change condition of the quadrotor. The simulation results show that this adaptive strategy allows the quadrotor to follow variable time attitude and altitude commands more accurately, in the presence of disturbances or parameter uncertainties, compared to non-adaptive feedback linearization controllers. And also it shows that adaptive feedback linearization and adaptive sliding mode controllers have more accurate tracking with less error compared to feedback linearization, sliding mode, PID and NID controllers, respectively.

Key Words Variable Pitch Quadrotor, Modeling, Feedback Linearization Control, Direct Adaptive Feedback Linearization Control.

DOI:10.22067/fum-mech.v3i1i2.84510

* تاریخ دریافت مقاله ۹۸/۹/۱۶ و تاریخ پذیرش آن ۹۹/۶/۲۲ می باشد.

(۱) کارشناسی ارشد، مهندسی برق-کنترل، دانشگاه صنعتی همدان، همدان

Email: khodabandeh@hut.ac.ir

(۲) نویسنده مسئول، استادیار، مهندسی برق-کنترل، دانشگاه صنعتی همدان، همدان.

مقدمه

کوادروتورها به دلیل ابعاد کوچک، قابلیت برخاست و فرود عمودی و توانایی‌های قابل توجه در انجام مانورهای مختلف پروازی و همچنین کاربردهای عملیاتی گسترده مورد توجه تحقیقات علمی قرار گرفته‌اند. قابلیت‌های امنیتی حمل‌ونقل بار به همراه توانایی مانور بالا در شرایط مختلف پروازی نیز توجه علائق تجاری را در این زمینه به خود جلب نموده است. بسته به کاربردهای خاص مورد نظر کاربران نیاز به مدل‌سازی‌های مختلف و انتخاب مناسب ابزارهای طراحی قانون کنترل ضروری به نظر می‌رسد. به‌نوبه خود، کنترل کوادروتور برای: (۱) دستیابی به پایداری، مقاوم بودن و خواص دینامیک مورد نظر، (۲) داشتن توانایی کنترل غیرخطی، (۳) داشتن قابلیت تطبیق نسبت به تغییر پارامترها و تغییرات محیطی به کنترل مناسبی نیاز دارد. هدف این است که یک روش کنترلی پیشنهاد گردد که به حالت‌های مختلف یک کوادروتور اجازه دهد تا به یک مجموعه دلخواه از حالات مرجع زمان متغیر همگرا شوند.

علی‌رغم موفقیت‌های کوادروتور معمولی که دارای چهار روتور است و هرکدام توسط تغییر سرعت موتورها به‌طور جداگانه هدایت و کنترل می‌شوند، هنوز هم محدودیت‌هایی وجود دارد. کوادروتورهای گام ثابت صرفاً توسط موتور با تغییر سرعت تفاضلی کنترل می‌شوند که از این رو پهنای باند کنترل آن توسط نیروی چرخشی موتورها محدود می‌گردد [1,2]. با افزایش ابعاد و وزن، کوادروتور دیگر نمی‌تواند صرفاً از طریق کنترل سرعت پایدار شود، زیرا ممکن است شرایطی ایجاد گردد که گشتاور مورد نیاز برای تغییر سرعت چرخش موتور از ظرفیت گشتاور تولیدی موتور فراتر رفته و در نتیجه، روش‌های کنترل پرواز فعلی برای کوادروتورهای با ابعاد بزرگ‌تر مناسب نباشد.

در کوادروتور گام متغیر، درحالی‌که ملخ‌های گام متغیر موجب افزایش پیچیدگی نسبت به کوادروتور ساده

می‌شوند، مزایای افزایش پهنای باند کنترل‌کننده و اضافه کردن قابلیت‌های رانش معکوس، این طرح را با کارایی بالاتر نشان می‌دهد. در گذشته برخی شرکت‌ها ساخت و پرواز کوادروتور گام متغیر با قابلیت کنترل از راه دور را انجام داده‌اند که می‌توان به یک تلاش جدی و سازمان‌یافته در این خصوص توسط کاتلر و همکاران اشاره کرد [1,2,3].

تحقیقات محدودی در زمینه کوادروتور گام متغیر صورت گرفته است به‌طور مثال در [4] یک ربات چندمنظوره که قادر به کار در زمین، دریا و هوا است معرفی شده است. این ربات شامل یک کوادروتور با ملخ‌های گام متغیر است که وسیله را قادر می‌سازد تا علاوه بر پرواز مانند یک کوادروتور معمولی، روی زمین با یک زاویه مایل بایستد، مانند یک چرخ روی زمین بچرخد، روی آب حرکت کند و شناور بماند. به دلیل کارایی خوب این ربات از آن در زمینه‌های طبیعی استفاده شده است. در [5] به مسأله تنظیم یک سیستم کنترل وضعیت آبشاری یک کوادروتور گام متغیر، با اتخاذ یک روش مبتنی بر داده سریع بر اساس یک روش تنظیم فیدبک مرجع مجازی اصلاح‌شده (Virtual Reference Feedback Tuning) VRFT پرداخته شده است. روش ارائه‌شده اجازه می‌دهد تا هر دو حلقه داخلی و بیرونی با استفاده از یک مجموعه واحد از داده‌های تجربی تنظیم شوند و این کنترل‌کننده سطح عملکردی قابل مقایسه با یک کنترل‌کننده H_{∞} مبتنی بر مدل فراهم می‌کند. نشان داده شده است که کنترل‌کننده داده محور یک ردیابی خوب و قابلیت دفع اغتشاشات را ارائه می‌کند و در نتیجه یک راه‌حل مناسب برای استقرار سریع برای کنترل‌کننده‌های وضعیت با کارایی بالا را ارائه داده است.

در [6] به مسأله طراحی کنترل مقاوم برای دینامیک‌های وضعیت یک کوادروتور گام متغیر پرداخته شده است. در [7] مشکل تنظیم یک سیستم کنترل وضعیت آبشاری یک کوادروتور گام متغیر، با مقایسه دو

روش مبتنی بر داده غیر تکرارشونده، بررسی شده است. روش اول، روش تنظیم فیدبک مرجع مجازی VRFT درحالی که روش دوم، روش تنظیم بر اساس همبستگی (Correlation-Based Tuning) CBT است. هر دو روش به منظور تنظیم دو حلقه داخلی و بیرونی، با استفاده از یک مجموعه واحد از داده‌های تجربی، اصلاح شده‌اند. این روش‌ها، یک تنظیم سریع پارامترهای کنترل از داده‌ها را به طور مستقیم، بدون تکیه بر شناخت دقیق از دینامیک دستگاه ممکن می‌سازند. در [8] مسأله طراحی قانون کنترل برای یک کوادروتور با توانمندی هر دو مؤلفه سرعت و کنترل زمین در نظر گرفته شده است. توازن بین سرعت و کنترل گام برای اولین بار با ارجاع به یک مسأله طراحی خطی بررسی شده است. سپس مسأله کنترل کلی روی کنترل گام مطرح شده و به صورت یک حلقه بیرونی (موقعیت) و یک حلقه درونی (وضعیت) فرمول‌بندی شده است. اکثر کوادروتورهای امروزی گام ثابت، مداومت پروازی کوتاهی (کمتر از ۱ ساعت) دارند که تا حد زیادی کارایی‌هایشان را محدود می‌کند.

در [9] یک روش طراحی برای ساخت یک کوادروتور با پرواز طولانی مدت با استفاده از روتورهای گام متغیر و یک موتور بنزینی ارائه شده است. این روش متشکل از سه مرحله است. در مرحله اول، پره‌های روتور و موتور بنزینی به عنوان یک جفت انتخاب شده‌اند، به طوری که نیروی بالابرنده (تراست) کافی می‌تواند به راحتی توسط موتور تأمین شود. در مرحله دوم، پیشرانه و بدنه طراحی شده‌اند. چالش عمده به حداقل رساندن لرزش بدنه و انتقال قدرت از یک موتور به چهار روتور در عین نگاه داشتن روتورها با چرخش متضاد بوده است. در نهایت، یک کنترل کننده PD (Proportional Derivative) به منظور تسهیل پرواز اولیه تنظیم شده است. عملکرد روش به وسیله ساخت و پرواز کوادروتور نمونه اولیه بنزینی که طوری طراحی شده است تا یک زمان پرواز از ۲ تا ۳ ساعت و حداکثر وزن

برخاست ۱۰ کیلوگرم داشته باشد، بررسی شده است. نمونه‌ای از تحقیقاتی که در زمینه کنترل کوادروتور معمولی با روتورهای گام ثابت انجام شده است نیز به شرح زیر است:

در [10]، پایدارسازی زمان محدود، برای یک کوادروتور بر مبنای یک روش کنترل مد لغزشی انتگرالی تطبیقی ارائه شده است.

در [11] کنترل مد لغزشی مبتنی بر روش برگشت به عقب کوادروتور با حذف اثر اغتشاش بار و تخمین اینرسی به روش تطبیقی ارائه شده است. در [12] یک کنترل کننده مبتنی بر خطی سازی فیدبک با یک ناظر حالت لغزشی مرتبه بالا که به طور موازی در حال اجرا است، به یک کوادروتور اعمال شده است. در [13] یک کنترل کننده مقاوم و پایدار جدید برای وضعیت کوادروتور ارائه شده که ترکیبی از خطی سازی فیدبک و استراتژی کنترل LQR (Linear Quadratic Regulator) است. این روش در ابتدا برای پایدارسازی وضعیت کوادروتور در برابر اغتشاش استفاده شده است. شبیه سازی‌ها نشان دهنده پایداری و مقاوم بودن سیستم کنترل در شرایط نامی است. علاوه بر این، یک اغتشاش محدود به سیستم در حالت پرواز اضافه شده و نتایج نشان دهنده رفتار موفق کنترل کننده پیشنهادی بوده است.

قبلاً، نیز رویکردهایی مانند کنترل PID (Proportional-Integral-Derivative) [14]، کنترل مد لغزشی [15]، کنترل پسگام [16]، کنترل تطبیقی [17,18]، دینامیک معکوس غیرخطی NID (Nonlinear Inverse Dynamics) [19] و خطی سازی فیدبک [20] برای طراحی کنترل کننده کوادروتورهای معمولی مطرح شده است، اما این رویکردها تاکنون برای کوادروتور گام متغیر استفاده نشده است که در این تحقیق به بررسی یکی از این رویکردها که خطی سازی فیدبک تطبیقی است پرداخته می‌شود.

تحقیق حاضر توسعه یک مدل دینامیکی پرواز برای

وجود ندارد و زاویه ملخ‌های روتورها ثابت است و تنها با کم‌وزیاد شدن سرعت آن‌ها می‌توان نحوه حرکت کوادروتور را کنترل نمود. این در حالی است که گام متغیر به معنای امکان تغییر زاویه ملخ‌های روتور است. در کوادروتور گام متغیر، سرعت روتورها ثابت و با تغییر زاویه ملخ‌های روتورها حرکت کوادروتور کنترل می‌شود.

یک ملخ گام متغیر، یک نوع سیستم با بهره‌گیری از یک طرز کار مکانیکی برای تغییر گام ملخ‌های روتور است [21] که در کوادروتور گام متغیر مورد استفاده قرار گرفته‌است که ویژگی‌هایی را برای کوادروتور گام متغیر در مقایسه با کوادروتور گام ثابت به ارمغان آورده است. ویژگی‌های ناشی از اضافه کردن ملخ‌های گام متغیر به کوادروتور [22] عبارت‌اند از:

۱. در مقایسه با کوادروتور معمولی که با تغییر سرعت روتورها کنترل می‌شود، در کوادروتور گام متغیر برای کنترل از تغییر زاویه گام روتور استفاده می‌شود که پهنای باند کنترلی بزرگ‌تری را فراهم می‌کند؛
۲. اجازه استفاده از موتورهای بنزینی را می‌دهد که سبب افزایش چشمگیر مداومت پروازی آن در مقایسه با کوادروتور با تغذیه باتری می‌شود؛
۳. امکان ایجاد نیروی معکوس توسط روتورها که باعث چابکی بیشتر و مانورپذیری و تحمل در برابر باد می‌شود و پرواز وارونه را به علت ایجاد نیروی منفی امکان‌پذیر می‌کند؛
۴. توسط تغییر زاویه تجمعی ملخ‌های روتور کنترل می‌شود.

۵. همه روتورها در یک سرعت راه‌اندازی می‌شوند. در شکل (۱) ساختار روتور با ملخ‌های گام متغیر نشان داده شده است و در شکل (۲) نمایی از ساختار یک کوادروتور گام متغیر نشان داده شده است.

کوادروتور گام متغیر را بررسی می‌نماید. تئوری عنصر تیغه CBT همراه با تئوری مومنتوم برای تخمین تراست و گشتاور هر یک از روتورها به‌عنوان عملکرد زاویه‌ای تیغه جهت توسعه یک مدل مکانیکی پرواز ساده استفاده می‌شود و از کنترل‌کننده‌های خطی‌سازی فیدبک و خطی‌سازی فیدبک تطبیقی مستقیم جهت کنترل کوادروتور گام متغیر استفاده می‌شود. به‌طورکلی این تحقیق دو موضوع را مد نظر دارد: (۱) ایجاد مدل دینامیکی برای کوادروتور گام متغیر و (۲) طراحی یک کنترل‌کننده خطی‌سازی فیدبک و خطی‌سازی فیدبک تطبیقی برای پایدارسازی و ردیابی مسیر در برابر تغییرات مدل سیستم.

ساختار کلی مقاله به‌صورت زیر است: در بخش ۲ به بیان ویژگی‌های کوادروتور گام متغیر اشاره شده است. در بخش ۳ نحوه مدل‌سازی کوادروتور گام متغیر به‌طور کامل بیان گردیده است و در بخش ۴ به طراحی کنترل‌کننده خطی‌سازی فیدبک و طراحی کنترل‌کننده خطی‌سازی فیدبک تطبیقی پرداخته شده است. در بخش ۵ نتایج حاصل از شبیه‌سازی کوادروتور گام متغیر با کنترل‌کننده‌های پیشنهادی ذکر شده است. در این بخش مقایسه عملکرد کنترل‌کننده‌های طراحی شده با کنترل PID و NID نیز انجام شده است. نهایتاً در بخش ۶ نتیجه‌گیری ارائه شده است.

ویژگی‌های کوادروتور گام متغیر

در ابتدا به بیان معنی گام متغیر در کوادروتور گام متغیر پرداخته می‌شود. اصطلاح گام از فاصله بین دو دندان یک پیچ گرفته شده است، به‌نحوی که با یک دور چرخش پیچ به میزان یک دندان در امتداد محور عمود بر آن، حرکت به میزان یک گام اتفاق می‌افتد. در سیستم‌هایی با ملخ دوار مثل کوادروتور گام از زاویه ملخ‌های کوادروتور نسبت به هم حاصل می‌شود. در کوادروتور گام ثابت امکان تغییر زاویه ملخ‌های روتورها

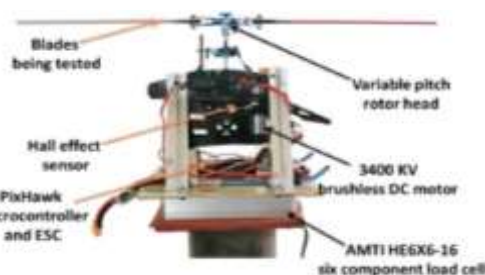
مواردی مانند اشباع عملگر برای هر دو نوع کوادروتور ممکن است رخ دهد. در کوادروتور گام ثابت، اشباع عملگر رسیدن سرعت روتورها به محدوده حداکثر سرعت خود و برای کوادروتور گام متغیر، اشباع عملگر به معنی رسیدن زاویه ملخ‌ها به حداکثر میزان ممکن تغییرات زاویه است. به‌طورکلی برای کوادروتورهای گام ثابت در مقایسه با کوادروتورهای گام متغیر در پروازهای با مانور شدید و تغییرات ناگهانی جهت و موقعیت، برای تبعیت از ورودی مرجع احتمال به اشباع رفتن بیشتر شده که کندی پاسخ یا عملکرد نسبتاً نامناسب ردیابی را به دنبال خواهد داشت. این امر در کوادروتورهای گام متغیر نوعاً کمتر اتفاق می‌افتد.

مدل‌سازی کوادروتور گام متغیر

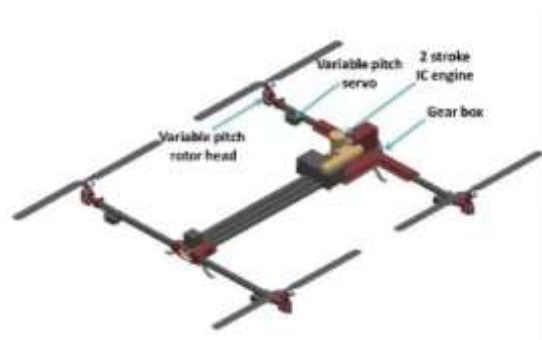
در این بخش، ابتدا روش کنترل کوادروتور گام متغیر که به‌طور قابل توجهی متفاوت از کوادروتور معمولی مبتنی بر پروانه‌های گام ثابت است، مورد بررسی قرار گرفته و معادلات نیوتن-اولر شش درجه آزادی (Six Degrees of Freedom) کوادروتور گام متغیر استخراج می‌شود.

روشی برای کنترل [23,24]

کنترل اولیه حرکت‌های مختلف (سه حرکت رول، پیچ و یاو) با تغییر نیروی روتورهای مختلف در ترکیب‌های مختلف به دست آمده است. این قضیه برای کنترل کوادروتور با کنترل گام متغیر نیز صدق می‌کند. تغییر در نیرو برای هر روتور با تغییر زاویه گام روتور مربوطه از تمام پروانه‌ها است. لازم به یادآوری است که تمام روتورها با همان سرعت نامی عمل می‌کنند که در مقدار مشخص شده برای تنظیم مقدار پایه رانش تنظیم می‌شود. حرکت به بالا و پایین به‌راحتی با افزایش یا کاهش زاویه‌های گام برای تمام روتورها به‌طور هم‌زمان و کلی، کنترل می‌شود.



شکل (۱): ساختار روتور با ملخ‌های گام متغیر [22]



شکل (۲): نمای از ساختار یک کوادروتور گام متغیر [22]

شباهت کوادروتور گام متغیر با کوادروتور معمولی

عبارت است از:

۱. کنترل اولیه از طریق تغییر در نیروی روتورها به دست می‌آید.

تفاوت‌های کوادروتور گام متغیر با کوادروتور

معمولی عبارت است از:

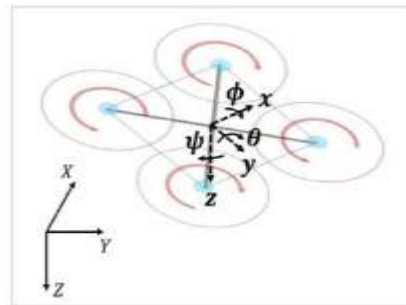
۱. تغییر در گشتاور به‌وسیله تغییر در زاویه تجمعی ملخ‌های روتورها به دست می‌آید؛

۲. همه روتورها در یک سرعت نامی راه‌اندازی می‌شوند.

برخی از محدودیت‌های کنترل گام ثابت، صرف‌نظر از کنترل‌کننده، مربوط به ساختار مکانیکی است. بدیهی است مکانیزم‌های پیچیده‌تر، از جمله طراحی کوادروتور با کنترل گام متغیر، از نظر طراحی و ساخت مکانیکی دارای مزایایی هستند که البته نیازمند طراحی کنترل متناسب نیز می‌باشند. هدف اصلی از بیان عبارات فوق این است که برای داشتن کوادروتور با قابلیت مانور بالاتر، استفاده از کوادروتور با گام متغیر نیاز است.

حرکت شناسی [23-25]

برای توصیف دینامیک بدنه صلب، دو مختصات برای سیستم کوادروتور، مشابه شکل (۳)، استفاده شده است:



شکل (۳): دستگاه مختصات استفاده شده برای توسعه رابطه

حرکت [23]

معادلات دینامیکی کوادروتور گام متغیر

رابطه بدنه کوادروتور را می توان با استفاده از قوانین مومنوم خطی و پایستگی زاویه حرکتی به دست آورد [23-36]. نیروهایی که بر یک کوادروتور عمل می کنند می توانند به عنوان مجموع نیروی گرانشی، نیروهای آیرودینامیکی و نیروهای دافعه در نظر گرفته شوند. در حال حاضر، نیروهای پیشران (نیرو و گشتاور موتور) و نیروهای گرانشی، نیروهای غالب فرض می شوند. نیروهای آیرودینامیک (مانند بالابر و کششی) که روی بدنه عمل می کنند، چون بسیار کوچک هستند، نادیده گرفته می شوند.

معادلات حرکت خطی مرکز ثقل برابر است با:

$$\begin{bmatrix} \dot{u} \\ \dot{v} \\ \dot{w} \end{bmatrix} = \begin{bmatrix} 0 \\ 0 \\ -\frac{T}{m} \end{bmatrix} + R \begin{bmatrix} 0 \\ 0 \\ g \end{bmatrix} \quad (3)$$

که m جرم کوادروتور و g ثابت گرانشی زمین است. در اینجا، $T = u_1$ تراست ناشی از کل روتورها است. رابطه (۴) دینامیک انتقالی کوادروتور را در محور مختصات ثابت بیان می کند. به طور مشابه، دینامیک انتقالی می تواند در مختصات اینرسیایی به صورت زیر بیان شوند.

$$\begin{bmatrix} \ddot{x} \\ \ddot{y} \\ \ddot{z} \end{bmatrix} = R^{-1} \begin{bmatrix} 0 \\ 0 \\ -\frac{u_1}{m} \end{bmatrix} + \begin{bmatrix} 0 \\ 0 \\ g \end{bmatrix} \quad (4)$$

توجه داشته باشید که دینامیکهای انتقالی در هر دو مختصات بدنه و اینرسیایی برای کاربرد آن در طراحی کنترل ارائه شده اند. می توان فرض کرد که کوادروتور نسبت به محورهای x و y متقارن باشد. دینامیک چرخشی به شرح زیر است.

$$\begin{bmatrix} \dot{p} \\ \dot{q} \\ \dot{r} \end{bmatrix} = \begin{bmatrix} \frac{I_y - I_z}{I_x} qr + \frac{J_r \omega_r}{I_x} q \\ \frac{I_z - I_x}{I_y} pr - \frac{J_r \omega_r}{I_y} p \\ \frac{I_x - I_y}{I_z} pq + \frac{J_r \omega_r}{I_z} r \end{bmatrix} + \begin{bmatrix} \frac{1}{I_x} u_2 \\ \frac{1}{I_y} u_3 \\ \frac{1}{I_z} u_4 \end{bmatrix} \quad (5)$$

مختصات بدنه ثابت و اینرسیایی تمام مقادیر فیزیکی بین دو سیستم مختصات با استفاده از زوایای کلاسیک اویلر (ϕ, θ, ψ) (رول، پیچ، یاو) (Roll, Pitch, Yaw) تغییر می کنند. عبارت زیر بیانگر سرعت کوادروتور در این دو مختصات است.

$$\frac{d}{dt} \begin{pmatrix} x \\ y \\ z \end{pmatrix} = R \begin{bmatrix} u \\ v \\ w \end{bmatrix} \quad (1)$$

$R =$

$$\begin{bmatrix} c\theta c\psi & s\phi s\theta c\psi - c\phi s\psi & c\phi s\theta c\psi + s\phi s\psi \\ c\theta s\psi & s\phi s\theta s\psi - c\phi c\psi & c\phi s\theta s\psi + s\phi c\psi \\ -s\theta & s\phi c\theta & c\phi c\theta \end{bmatrix}$$

جایی که $c\beta \triangleq \cos \beta$ و $s\beta \triangleq \sin \beta$ هستند.

سرعت اجزا در مختصات بدنه و (x, y, z) عناصر سرعت در مختصات اینرسیایی است. به طور مشابه، عبارت زیر، نرخ بدنه را به نرخ زاویه اویلر مربوط می کند. (p, q, r) سرعت های زاویه ای در مختصات بدنه هستند.

$$\begin{bmatrix} \dot{\phi} \\ \dot{\theta} \\ \dot{\psi} \end{bmatrix} = \begin{bmatrix} 1 & \frac{s\phi s\theta}{c\theta} & \frac{c\phi s\theta}{c\theta} \\ 0 & c\phi & -s\phi \\ 0 & \frac{s\phi}{c\theta} & \frac{c\phi}{c\theta} \end{bmatrix} \begin{bmatrix} p \\ q \\ r \end{bmatrix} \quad (2)$$

$$\begin{aligned}\ddot{z} &= \frac{u_1}{m} (\cos(\varphi) \cos(\theta)) - g \\ \ddot{\varphi} &= \dot{\theta} \dot{\psi} \frac{I_y - I_z}{I_x} + \frac{1}{I_x} u_2 \\ \ddot{\theta} &= \dot{\psi} \dot{\varphi} \frac{I_z - I_x}{I_y} + \frac{1}{I_y} u_3 \\ \ddot{\psi} &= \dot{\varphi} \dot{\theta} \frac{I_x - I_y}{I_z} + \frac{1}{I_z} u_4 \\ \varphi, \theta, \psi &\in \left(-\frac{\pi}{2}, \frac{\pi}{2}\right)\end{aligned}\quad (7)$$

معادلات دینامیکی روتور

معادلات تعادل تراست و مومنتوم برای پیکربندی H (مشابه پیکربندی "X") در مورد وضعیت به دست آمده است که در زیر نشان داده شده است. تئوری عنصر تیغه همراه با تئوری مومنتوم برای محاسبه تراست و گشتاور هر روتور به عنوان تابع ضریب تراست استفاده می‌شود [23,24,29].

برای کوادروتور معمولی، متغیر فرمان‌های کنترلی پرنده که از تغییرات مقدار تراست و گشتاور مجموعه پیشران به دست می‌آیند به صورت زیر است:

$$\begin{aligned}\begin{bmatrix} u_1 \\ u_2 \\ u_3 \\ u_4 \end{bmatrix} &= K_c \begin{bmatrix} \omega_1^2 \\ \omega_2^2 \\ \omega_3^2 \\ \omega_4^2 \end{bmatrix} \\ K_c &= \begin{bmatrix} lb & lb & lb & lb \\ 0 & -lb & 0 & lb \\ lb & 0 & -lb & 0 \\ -d & d & -d & d \end{bmatrix}\end{aligned}\quad (8)$$

متغیرهای b و d به ترتیب ضریب اصطکاک و ضریب تصحیح نیرو به گشتاور هستند.

برای کوادروتور گام متغیر فرمان‌های کنترلی که از تغییرات مقدار تراست و گشتاور مجموعه پیشران به دست می‌آیند به صورت زیر است:

$$\begin{aligned}u_1 &= K(C_{T_1} + C_{T_2} + C_{T_3} + C_{T_4}) \\ u_2 &= Kd(C_{T_1} - C_{T_2} - C_{T_3} + C_{T_4}) \\ u_3 &= Kd(C_{T_1} + C_{T_2} - C_{T_3} - C_{T_4})\end{aligned}$$

روابط (۲)، (۳)، (۴) و (۵) با هم نشان‌دهنده رابطه کامل شش درجه آزادی برای کوادروتور گام متغیر هستند. در نتیجه مدل نهایی کوادروتور گام متغیر [27,28] به صورت زیر است:

$$\begin{aligned}\ddot{x} &= \frac{u_1}{m} (\cos(\varphi) \sin(\theta) \cos(\psi) + \sin(\varphi) \sin(\psi)) \\ \ddot{y} &= \frac{u_1}{m} (\cos(\varphi) \sin(\theta) \sin(\psi) - \sin(\varphi) \cos(\psi)) \\ \ddot{z} &= \frac{u_1}{m} (\cos(\varphi) \cos(\theta)) - g \\ \ddot{\varphi} &= \dot{\theta} \dot{\psi} \frac{I_y - I_z}{I_x} + \frac{I_r}{I_x} \dot{\theta} \omega_r + \frac{1}{I_x} u_2 \\ \ddot{\theta} &= \dot{\psi} \dot{\varphi} \frac{I_z - I_x}{I_y} - \frac{I_r}{I_y} \dot{\varphi} \omega_r + \frac{1}{I_y} u_3 \\ \ddot{\psi} &= \dot{\varphi} \dot{\theta} \frac{I_x - I_y}{I_z} + \frac{1}{I_z} u_4 \\ \varphi, \theta, \psi &\in \left(-\frac{\pi}{2}, \frac{\pi}{2}\right) \text{ و } \omega_r = \omega_1 - \omega_2 + \omega_3 - \omega_4\end{aligned}\quad (6)$$

I_z, I_y, I_x به ترتیب مومنتوم‌های اینرسی در راستای محورهای x, y, z بوده و l طول هر روتور تا مرکز جرم کوادروتور است. ω_r باقیمانده کلی سرعت زاویه‌ای روتورها است و ω_i $i = 1, 2, 3, 4$ سرعت زاویه‌ای روتور i ام است که در کوادروتور گام متغیر چون همه روتورها در یک سرعت زاویه‌ای ثابت راه‌اندازی می‌شوند مقدار ω_r برابر صفر خواهد بود.

مومنتوم‌های روی بدنه کوادروتور گام متغیر به طور قابل توجهی کوچک هستند و هیچ مومنتوم ژيروسکوپی که روی وسیله عمل کند وجود ندارد زیرا سرعت همه روتورها یکی است و دو روتور در یک جهت می‌چرخند و دو روتور دیگر در خلاف جهت می‌چرخند که باعث تعادل مومنتوم‌های ژيروسکوپی می‌شود.

در نتیجه با توجه به مطالب ذکر شده مدل ساده‌شده کوادروتور گام متغیر به صورت زیر بیان می‌شود:

$$\begin{aligned}\ddot{x} &= \frac{u_1}{m} (\cos(\varphi) \sin(\theta) \cos(\psi) + \sin(\varphi) \sin(\psi)) \\ \ddot{y} &= \frac{u_1}{m} (\cos(\varphi) \sin(\theta) \sin(\psi) - \sin(\varphi) \cos(\psi))\end{aligned}$$

به معادلات فضای حالت کوادروتور که در رابطه (۶) شرح داده شده است، چهار حالت کوادروتور که بیانگر ارتفاع و وضعیت $(z, \varphi, \theta, \psi)$ آن می‌باشند به‌طور مستقیم با ورودی‌های (u_1, u_2, u_3, u_4) کنترل می‌شوند اما جهت کنترل حالت‌های (x, y) ورودی مستقل وجود ندارد. برای مواجهه با زیرتحریکی، ورودی‌های مجازی در معادلات موقعیت کوادروتور تعیین شده است که تعیین آن‌ها توسط کنترل‌کننده منجر به تعیین رفتار ایده‌آل وضعیت کوادروتور می‌شود. ورودی‌های مجازی به‌صورت زیر تعریف شده است:

$$\begin{aligned} u_x &= \frac{u_1}{m} (\cos(\varphi) \sin(\theta) \cos(\psi) + \sin(\varphi) \sin(\psi)) \\ u_y &= \frac{u_1}{m} (\cos(\varphi) \sin(\theta) \sin(\psi) - \sin(\varphi) \cos(\psi)) \\ u_z &= \frac{u_1}{m} (\cos(\varphi) \cos(\theta)) - g \\ u_1 &= \frac{m}{(\cos(\varphi) \cos(\theta))} (u_z + g) \\ \phi_c &= \sin^{-1} \left(\frac{m}{u_1} u_x \sin \psi - \frac{m}{u_1} u_y \cos \psi \right) \\ \theta_c &= \sin^{-1} \left(\frac{m}{u_1} u_x \cos \psi + \frac{m}{u_1} u_y \sin \psi \right) \end{aligned} \quad (13)$$

طراحی کنترل کننده طراحی کنترل خطی سازی فیدبک برای کوادروتور گام متغیر

از آنجایی که کوادروتور یک سیستم زیرتحریک است باید ۴ خروجی برای کنترل انتخاب شوند که در اینجا متغیرهای خروجی به‌صورت x, y, z و ψ در نظر گرفته می‌شوند. [18], [30] به این صورت با توجه به معادلات کوادروتور مشاهده می‌گردد که u_2 و u_3 در معادلات حالت خروجی‌های انتخابی ظاهر نمی‌گردد. بنابراین برای ظاهر شدن این عبارات باید از معادلات مشتق گرفته شود، در نتیجه طراحی کنترل کننده خطی سازی فیدبک محاسبات پیچیده شده و در مقابل نویز حساس خواهد بود. برای کاهش مشتق‌گیری‌های

$$u_4 = \frac{KR}{\sqrt{2}} \left(C_{T_1}^{\frac{3}{2}} - C_{T_2}^{\frac{3}{2}} + C_{T_3}^{\frac{3}{2}} - C_{T_4}^{\frac{3}{2}} \right) \quad (9)$$

که ρ, R, d به ترتیب برابر ضریب فضا، شعاع روتور و طول بازوی کوادروتور و $\omega R = v_{tip}$ است. $T_i = \rho \pi v_{tip}^2 R^2 C_{T_i}$ و $\rho \pi v_{tip}^2 R^2$ ضریب تراست i امین روتور است. C_{T_i} ضریب تراست i امین روتور است. رابطه بین ضریب تراست، C_T ، از هر روتور و زاویه گام تجمعی روتور (θ_0) برای یک تیغه بازه مستطیل شکل می‌تواند با استفاده از نظریه عنصر تیغه و حرکت به دست آید:

$$\theta_{0i} = \frac{6C_T}{\sigma C_{l\alpha}} + \frac{3}{2} \sqrt{\frac{C_T}{2}} \quad (10)$$

که $\sigma = \frac{N_b C}{\pi R}$ است، N_b تعداد تیغه‌ها است و C طول وتر ملخ روتور $C_{l\alpha}$ ، ضریب نیروی تراست است.

$$\begin{bmatrix} \dot{C}_{T_1} \\ \dot{C}_{T_2} \\ \dot{C}_{T_3} \\ \dot{C}_{T_4} \end{bmatrix} = Th^{-1} \begin{bmatrix} \dot{u}_1 \\ \dot{u}_2 \\ \dot{u}_3 \\ \dot{u}_4 \end{bmatrix} \quad (11)$$

جایی که Th ماتریس ضریب تراست و به شرح زیر است:

$$Th = \begin{bmatrix} K & K & K & K \\ Kl & -Kl & -Kl & Kl \\ Kl & Kl & -Kl & -Kl \\ 3KR \sqrt{\frac{C_{T_1}}{2}} & -3KR \sqrt{\frac{C_{T_2}}{2}} & 3KR \sqrt{\frac{C_{T_3}}{2}} & 3KR \sqrt{\frac{C_{T_4}}{2}} \end{bmatrix} \quad (12)$$

هنگامی که ورودی کنترل مجازی $U = [C_{T_1}, C_{T_2}, C_{T_3}, C_{T_4}]^T$ به دست می‌آید، با دینامیک‌های سیستم ادغام می‌شود تا ضرایب تراست به دست آید. برای ضرایب تراست داده شده، می‌توان زاویه گام دلخواه را با حل رابطه (۱۰) برای هر روتور به دست آورد.

مواجهه با زیر تحریکی

کوادروتور به دلیل داشتن ۶ خروجی در ازای ۴ ورودی کنترل جزء مسائل زیر تحریک است. به بیان دیگر با توجه

می‌شوند و ورودی‌های کنترلی سیستم تعمیم یافته رابطه (۲۰) است که ورودی‌های کنترلی کمکی و دینامیک‌های خطا به ترتیب به صورت معادلات (۱۷) و (۱۸) هستند.

$$x^{(3)} = \left(\frac{1}{m}\right) (\dot{u}_1 \cos \varphi \sin \theta - u_1 \dot{\varphi} \sin \varphi \sin \theta + u_1 \dot{\theta} \cos \theta \cos \varphi) \quad (16)$$

$$x^{(4)} = \left(\frac{1}{m}\right) (\ddot{u}_1 \cos \varphi \sin \theta - 2\dot{u}_1 \dot{\varphi} \sin \varphi \sin \theta + 2\dot{u}_1 \dot{\theta} \cos \theta \cos \varphi - u_1 \dot{\theta}^2 \sin \theta \cos \varphi + u_1 \ddot{\theta} \cos \theta \cos \varphi - u_1 \ddot{\varphi} \sin \varphi \sin \theta - u_1 \dot{\varphi}^2 \cos \varphi \sin \theta - 2u_1 \dot{\varphi} \dot{\theta} \cos \theta)$$

$$y^{(3)} = \left(-\frac{1}{m}\right) (-\dot{u}_1 \sin \varphi - u_1 \dot{\varphi} \cos \varphi)$$

$$y^{(4)} = \left(-\frac{1}{m}\right) (\ddot{u}_1 \sin \varphi + 2\dot{u}_1 \dot{\varphi} \cos \varphi - u_1 \dot{\varphi}^2 \sin \varphi + u_1 \ddot{\varphi} \cos \varphi)$$

$$z^{(3)} = \left(\frac{1}{m}\right) (\dot{u}_1 \cos \theta \cos \varphi - u_1 \dot{\theta} \sin \theta \cos \varphi - u_1 \dot{\varphi} \cos \theta \sin \varphi)$$

$$z^{(4)} = \left(\frac{1}{m}\right) (\ddot{u}_1 \cos \theta \cos \varphi - 2\dot{u}_1 \dot{\varphi} \sin \varphi \cos \theta - 2\dot{u}_1 \dot{\theta} \cos \varphi \sin \theta - u_1 \ddot{\varphi} \sin \varphi \cos \theta - u_1 \cos \theta \cos \varphi (\dot{\varphi}^2 + \dot{\theta}^2) - u_1 \ddot{\theta} \cos \varphi \sin \theta + 2u_1 \dot{\theta} \dot{\varphi} \sin \varphi \sin \theta)$$

$$\begin{aligned} v_1 &= x_d^{(4)} - k_{x1}e_x^{(3)} - k_{x2}\ddot{e}_x - k_{x3}\dot{e}_x - k_{x4}e_x \\ v_2 &= y_d^{(4)} - k_{y1}e_y^{(3)} - k_{y2}\ddot{e}_y - k_{y3}\dot{e}_y - k_{y4}e_y \\ v_3 &= z_d^{(4)} - k_{z1}e_z^{(3)} - k_{z2}\ddot{e}_z - k_{z3}\dot{e}_z - k_{z4}e_z \end{aligned} \quad (17)$$

$$e_x^{(4)} - k_{x1}e_x^{(3)} - k_{x2}\ddot{e}_x - k_{x3}\dot{e}_x - k_{x4}e_x = 0$$

$$e_y^{(4)} - k_{y1}e_y^{(3)} - k_{y2}\ddot{e}_y - k_{y3}\dot{e}_y - k_{y4}e_y = 0$$

$$e_z^{(4)} - k_{z1}e_z^{(3)} - k_{z2}\ddot{e}_z - k_{z3}\dot{e}_z - k_{z4}e_z = 0 \quad (18)$$

پیچیده، با فرض کوچک بودن ψ و فرض تقارن و $\omega_r = 0$ ، معادلات حالت ساده شده و به صورت معادلات (۱۴) و (۱۵) به دست می‌آیند.

$$\begin{aligned} \ddot{x} &= \frac{u_1}{m} (\cos(\varphi) \sin(\theta)) \\ \ddot{y} &= \frac{u_1}{m} (-\sin(\varphi)) \\ \ddot{z} &= \frac{u_1}{m} (\cos(\varphi) \cos(\theta)) - g \end{aligned} \quad (14)$$

$$\begin{aligned} \ddot{\varphi} &= \frac{1}{I_x} u_2 \\ \ddot{\theta} &= \frac{1}{I_y} u_3 \\ \ddot{\psi} &= \frac{1}{I_z} u_4 \end{aligned} \quad (15)$$

رفتار متغیرهای حالت باقی مانده φ و θ بعد از کنترل x, y, z و ψ تنها به ورودی‌های کنترلی u_2 و u_3 وابسته است.

با توجه به معادلات مربوط به x, y, z و ψ در روابط (۱۴) و (۱۵) بردار درجات نسبی برابر است با $\{r_1, r_2, r_3, r_4\} = \{3, 3, 3, 3\}$ مجموع درجات نسبی ۱۲ است، با این حال ابعاد سیستم برابر ۱۶ است. بنابراین این کنترل کننده دینامیک صفر خواهد داشت و باید پایداری این دینامیک‌های صفر تحلیل شوند. طبق نکته ۱ در [13] برای اجتناب از دینامیک صفر، دو انتگرال گیر بر سر راه u_1 قرار می‌گیرد. با هر انتگرال گیر ابعاد سیستم یک واحد افزایش و $\{r_2, r_3, r_4\}$ نیز هر کدام یک واحد افزایش دارند و در نهایت درجات نسبی با ابعاد سیستم برابر خواهند شد.

$$\{r_1, r_2, r_3, r_4\} = \{3, 5, 5, 5\}$$

برای دستیابی به کنترل کننده موقعیت x, y, z از معادلات (۱۴) تا جایی مشتق گرفته می‌شود که u_2 و u_3 ظاهر شوند. در این حالت در مشتق دوم روابط $u_3 = \frac{I_y \ddot{\theta}}{1}$ و $u_2 = \frac{I_x \ddot{\varphi}}{1}$ مشتقات معادلات (۱۴) به صورت معادلات (۱۶) خواهد بود و به صورت ماتریسی به صورت رابطه (۱۹) نوشته

با توجه به محدوده عملکرد معکوس ماتریس استفاده شده در رابطه (۲۰) وجود دارد. برای کنترل ψ یک کنترل کننده PD به صورت (۲۱) در نظر گرفته می شود که در آن $k_{\psi 1}$ و $k_{\psi 2}$ به ترتیب بهره های مشتقی و تناسبی هستند که در شبیه سازی برابر ۱ در نظر گرفته شده اند.

$$u_4 = \ddot{\psi}_d + k_{\psi 1}(\dot{\psi}_d - \dot{\psi}) + k_{\psi 2}(\psi_d - \psi) \quad (21)$$

کنترل کننده خطی سازی فیدبک تطبیقی

مستقیم

از آنجا که حذف دقیق دینامیک های غیرخطی، همان طور که در خطی سازی فیدبک نیاز است، در حالت عملی دشوار بوده و به علاوه پارامترهای سیستم می تواند متغیر با زمان باشد. برای این کار یک روش کنترلی تطبیقی غیرخطی مستقیم ارائه می گردد. پایداری مجانبی این روش توسط یک متغیر مبتنی بر تئوری لیاپانوف اثبات شده است.

روش تطبیقی، عملکرد خطی سازی فیدبک را مستقیماً توسط کاهش خطای ردیابی بهبود می بخشد. این کار با اصلاح پارامترها و در نهایت بهره های کنترل کننده، مبتنی بر خطای ردیابی انجام می شود. هدف کنترل کننده، کاهش خطای ردیابی است، نه لزوماً خطای تخمین پارامترها. باین حال اگر ورودی ها به اندازه کافی غنی باشند، مقادیر صحیح پارامترها نیز در تخمین به دست خواهند آمد.

کنترل خطی سازی فیدبک تطبیقی. سیستم مکانیکی

به صورت زیر تعریف می شود که M و C توابع غیر خطی بوده که نسبت به پارامترهای p خطی هستند و دینامیک های سیستم را توصیف می کنند [۳۲، ۳۱] x حالت ها و τ گشتاورهای ورودی است:

$$\tau = M(x, p)\ddot{x} + C(x, \dot{x}, p) \quad (22)$$

ماتریس اثر جرمی و شتاب کوریولیس به صورت زیر تعریف می شوند:

که در آن $k_{ij}, i = \{x, y, z\}, j = \{1, 2, 3, 4\}$ بهره های انتخابی برای دستیابی به دینامیک خطای پایداری سیستم ساده شده هستند و $e_i = i - i_d, i = \{x, y, z\}$ تعریف می شود.

$$\begin{bmatrix} \ddot{x} \\ \ddot{y} \\ \ddot{z} \end{bmatrix} = \begin{bmatrix} B_{11} \\ B_{21} \\ B_{31} \end{bmatrix} + \begin{bmatrix} A_{11} & A_{12} & A_{13} \\ A_{21} & A_{22} & A_{23} \\ A_{31} & A_{32} & A_{33} \end{bmatrix} \begin{bmatrix} \ddot{u}_1 \\ \ddot{u}_2 \\ \ddot{u}_3 \end{bmatrix} \quad (19)$$

$$B_{11} = \left(\frac{1}{m}\right) (-2\dot{u}_1 \dot{\phi} \sin \phi \sin \theta +$$

$$2\dot{u}_1 \dot{\theta} \cos \theta \cos \phi -$$

$$u_1 \dot{\theta}^2 \sin \theta \cos \phi - u_1 \phi^2 \cos \phi \sin \theta -$$

$$2u_1 \dot{\phi} \sin \phi \dot{\theta} \cos \theta)$$

$$B_{21} = \left(-\frac{1}{m}\right) (2\dot{u}_1 \dot{\phi} \cos \phi - u_1 \phi^2 \sin \phi)$$

$$B_{31} = \left(\frac{1}{m}\right) (-2\dot{u}_1 \dot{\phi} \sin \phi \cos \theta -$$

$$2\dot{u}_1 \dot{\theta} \cos \phi \sin \theta - u_1 \cos \theta \cos \phi (\dot{\phi}^2 + \dot{\theta}^2) +$$

$$2u_1 \dot{\theta} \dot{\phi} \sin \phi \sin \theta)$$

$$A_{11} = \left(\frac{1}{m}\right) \cos \phi \sin \theta$$

$$A_{12} = \left(\frac{1}{m}\right) u_1 \sin \phi \cos \theta \frac{1}{I_x}$$

$$A_{13} = \left(\frac{1}{m}\right) u_1 \cos \theta \cos \phi \frac{1}{I_y}$$

$$A_{21} = \left(\frac{1}{m}\right) \cos \theta \cos \phi$$

$$A_{22} = -\left(\frac{1}{m}\right) u_1 \cos \phi \frac{1}{I_x}$$

$$A_{23} = 0$$

$$A_{31} = \left(\frac{1}{m}\right) \cos \theta \cos \phi$$

$$A_{32} = -\left(\frac{1}{m}\right) u_1 \cos \theta \sin \phi \frac{1}{I_x}$$

$$A_{33} = -\left(\frac{1}{m}\right) u_1 \sin \theta \cos \phi \frac{1}{I_y}$$

$$\begin{bmatrix} \ddot{u}_1 \\ \ddot{u}_2 \\ \ddot{u}_3 \end{bmatrix} = \begin{bmatrix} A_{11} & A_{12} & A_{13} \\ A_{21} & A_{22} & A_{23} \\ A_{31} & A_{32} & A_{33} \end{bmatrix}^{-1} \begin{bmatrix} -B_{11} + v_1 \\ -B_{21} + v_2 \\ -B_{31} + v_3 \end{bmatrix} \quad (20)$$

ماتریس‌های دینامیکی (رابطه (۲۲)) با توجه به پارامترهای p خطی هستند. بنابراین، دینامیک در جملات خطا می‌تواند به صورت رابطه (۳۲) بازنویسی شود.

$$\tilde{M}(x, \Phi)\ddot{x} + \tilde{C}(x, \dot{x}, \Phi) = W(x, \dot{x}, \ddot{x})\Phi \quad (32)$$

جایی که W یک ماتریس غیرخطی است که دینامیک‌های خطا را در بر می‌گیرد. بنابراین، دینامیک‌های سیستم از رابطه (۳۱) می‌تواند به صورت رابطه (۳۳) نوشته شود:

$$\ddot{E} - k_v \dot{E} - k_p E = -\tilde{M}(x, \hat{p})^{-1} W(x, \dot{x}, \ddot{x})\Phi \quad (33)$$

که می‌توان در رابطه (۳۲)، W را به صورت زیر در نظر گرفت:

$$W(x, \dot{x}, \ddot{x}) = \begin{bmatrix} \frac{-\ddot{z}+g}{\cos \theta \sin \phi} & 0 & 0 & 0 \\ 0 & \ddot{\phi} & \dot{\theta} \dot{\psi} & -\dot{\theta} \dot{\psi} \\ 0 & -\dot{\phi} \dot{\psi} & \ddot{\theta} & \dot{\phi} \dot{\psi} \\ 0 & \dot{\theta} \dot{\phi} & -\dot{\theta} \dot{\phi} & \ddot{\psi} \end{bmatrix} \quad (34)$$

اگر رابطه (۳۳) به صورت یک سیستم درجه دو در نظر گرفته شود که سمت چپ آن ورودی u بوده و E خروجی سیستم باشد، یک تحقق از آن به صورت (۳۵) نوشته می‌شود که در آن A ماتریس هریتز و زوج (A, C_1) رؤیت پذیر است. همچنین این تحقق به نحوی انتخاب می‌شود که لم کالمن-یاکوبوویچ-پوپوف را با تعریف خروجی جدید E_1 برآورده کند:

$$\begin{aligned} \dot{Z} &= AZ + Bu, \quad u = -\tilde{M}^{-1} W\Phi \\ E &= C_1 Z \end{aligned} \quad (35)$$

در تعریف خروجی جدید، Ψ پارامتر تنظیم است. رابطه خروجی جدید به صورت (۳۷) به دست خواهد آمد:

$$E_1 = \dot{E} + \Psi E \quad (36)$$

$$E_1 = CZ \quad (37)$$

لم کالمن-یاکوبوویچ-پوپوف بیان می‌کند که تحقق مورد نظر به نحوی است که در روابط زیر صدق می‌کند

$$M = \begin{bmatrix} m \times I_{3 \times 3} & 0_{3 \times 3} \\ 0_{3 \times 3} & I \end{bmatrix} \quad C = \begin{bmatrix} \omega_B \times (mV_B) \\ \omega_B \times (I\omega_B) \end{bmatrix}$$

که در آن ω_B و V_B به ترتیب بردار سرعت زاویه‌ای و سرعت خطی در مختصات محلی هستند، به طوری که $\omega_B = [\omega_x \ \omega_y \ \omega_z]^T$ و $V_B = [V_x \ V_y \ V_z]^T$ دینامیک‌های فوق با کنترل کننده‌ی خطی سازی فیدبک کنترل می‌شوند:

$$u = \tau = M(x, p)\ddot{x}^* + C(x, \dot{x}, p) \quad (23)$$

جایی که \ddot{x}^* به این شکل انتخاب می‌شود:

$$\ddot{x}^* = \ddot{x}_d - k_v \dot{E} - k_p E \quad (24)$$

\ddot{x}_d شتاب مطلوب حالت‌ها است و E و \dot{E} خطای موقعیت و سرعت حالت را نشان می‌دهند:

$$E = x_d - x \quad (25)$$

$$\dot{E} = \dot{x}_d - \dot{x} \quad (26)$$

K_p و K_v بهره‌هایی برای جانشین قطب‌های دینامیک‌های حلقه بسته خطی در سمت چپ صفحه مختصات هستند. باین حال در رابطه (۲۲) M و C نسبت به خطای پارامتری نامشخص اند و به صورت زیر تخمین زده خواهند شد:

$$\tau = \tilde{M}(x, \hat{p})\ddot{x}^* + \tilde{C}(x, \dot{x}, \hat{p}) \quad (27)$$

$$\begin{aligned} \tilde{M} &= M - \hat{M} \\ \tilde{C} &= C - \hat{C} \end{aligned} \quad (28)$$

$$\Phi = p - \hat{p} \quad (29)$$

Φ خطای تخمین پارامترهاست و با جایگذاری رابطه (۲۷) در (۲۲) داریم:

$$\tilde{M}(x, \Phi)\ddot{x} + \tilde{C}(x, \dot{x}, \Phi) = \tilde{M}(x, \hat{p})(\ddot{x}_d - k_v \dot{E} - k_p E) \quad (30)$$

دینامیک‌های خطا:

$$(\ddot{E} - k_v \dot{E} - k_p E) = -\tilde{M}^{-1} (\tilde{M}(x, \Phi)\ddot{x} + \tilde{C}(x, \dot{x}, \Phi)) \quad (31)$$

$$\tau = M^q(x^q, p^q)\ddot{x}^{q*} + C^q(x^q, \dot{x}^q, p^q) \quad (45)$$

$$\tau^q = \begin{bmatrix} u^q \\ \tau_{\phi}^q \\ \tau_{\theta}^q \\ \tau_{\psi}^q \end{bmatrix}$$

$$M^q(x, p^q) = \begin{bmatrix} -\frac{m}{c\theta c\phi} & 0 & 0 & 0 \\ 0 & I_x & 0 & 0 \\ 0 & 0 & I_y & 0 \\ 0 & 0 & 0 & I_z \end{bmatrix}$$

$$C^q(x^q, \dot{x}^q, p^q) = \begin{bmatrix} \frac{mg}{c\theta c\phi} \\ \dot{\theta}\psi(I_y - I_z) \\ \dot{\phi}\psi(I_z - I_x) \\ \dot{\phi}\dot{\theta}(I_x - I_y) \end{bmatrix}$$

بردار پارامترهای ناشناخته به صورت زیر در نظر گرفته شده است.

$$\hat{p}^q = \begin{bmatrix} p_1^q \\ p_2^q \\ p_3^q \\ p_4^q \end{bmatrix} = \begin{bmatrix} m \\ I_x \\ I_y \\ I_z \end{bmatrix} \quad (46)$$

انتخاب \hat{p} تضمین می کند که سیستم رابطه (45) در پارامترها، خطی است. هدف کلی این کنترل کننده کاهش خطای ردیابی است.

متغیر $W(x, \dot{x}, \ddot{x})$ به صورت زیر تعریف شده است،

$$W(\ddot{x}^q, \dot{x}^q, x^q) = \begin{bmatrix} -\ddot{z}+g & 0 & 0 & 0 \\ c\theta c\phi & \ddot{\phi} & \dot{\theta}\dot{\psi} & -\dot{\theta}\dot{\psi} \\ 0 & -\dot{\phi}\dot{\psi} & \ddot{\theta} & \dot{\phi}\dot{\psi} \\ 0 & \dot{\theta}\dot{\phi} & -\dot{\theta}\dot{\phi} & \ddot{\psi} \end{bmatrix} \quad (47)$$

بنابراین، قانون تطبیق پارامتر برای کوادروتور به صورت زیر خواهد بود:

$$\hat{p}^q = -\Gamma W^T \hat{M}^q^{-1} E_1 \quad (48)$$

جایی که بهره تطبیق Γ و خروجی E_1 به ترتیب در رابطه های (36) و (40) تعریف شده اند. این قانون تطبیق پارامتر، همراه با قانون کنترل در رابطه (45)، می تواند برای تثبیت دینامیک های کوادروتور با پارامترهای نامعین جرم و اینرسی استفاده شود.

به نحوی که ماتریس های P, Q ماتریس های مثبت معین هستند.

$$A^T P + P A = -Q \quad (38)$$

$$P B = C^T \quad (39)$$

انتخاب تابع لیاپانوف که در آن Γ مثبت بوده و بهره ی تطبیق است، به صورت زیر است:

$$V = Z^T P Z + \theta^T \Gamma^{-1} \theta \quad (40)$$

با مشتق گیری از رابطه بالا و با استفاده از لم کالمن-یاکوبوویچ-پوپوف:

$$\dot{V} = \dot{Z}^T P Z + Z^T P \dot{Z} + 2\theta^T \Gamma^{-1} \dot{\theta} \quad (41)$$

$$\dot{V} = (A Z + B u)^T P Z + Z^T P (A Z + B u) + 2\theta^T \Gamma^{-1} \dot{\theta}$$

$$\dot{V} = Z^T A^T P Z + u^T B^T P Z + Z^T P A Z + Z^T P B u + 2\theta^T \Gamma^{-1} \dot{\theta}$$

$$\dot{V} = -Z^T Q Z + 2u^T E_1 + 2\theta^T \Gamma^{-1} \dot{\theta}$$

$$\dot{V} = -Z^T Q Z + 2(-\hat{M}^{-1} W \theta)^T E_1 + 2\theta^T \Gamma^{-1} \dot{\theta}$$

$$\dot{V} = -Z^T Q Z - 2\theta^T W^T \hat{M}^{-1} E_1 + 2\theta^T \Gamma^{-1} \dot{\theta}$$

و با انتخاب قانون تطبیق به صورت زیر:

$$\dot{\theta} = \Gamma W^T \hat{M}^{-1} E_1 \quad (42)$$

مشتق تابع لیاپانوف در رابطه (37) به صورت زیر به دست می آید:

$$\dot{V} = -Z^T Q Z \quad (43)$$

که رابطه (43) به ازای Q مثبت معین، منفی نیمه-معین خواهد بود؛ و با توجه به اینکه $\theta = p - \hat{p}$

بنابراین $\dot{\theta} = -\dot{\hat{p}}$. لذا، یک قانون تطبیق مناسب

به صورت زیر خواهد بود:

$$\dot{\hat{p}} = -\Gamma W^T \hat{M}^{-1} E_1 \quad (44)$$

کنترل خطی سازی فیدبک تطبیقی برای کوادروتور گام متغیر. با توجه به دینامیک های کوادروتور، می توان دینامیک های قابل خطی سازی فیدبک را برای حالت کوادروتور $x^q = [Z \ \phi \ \theta \ \psi]^T$ به دست آورد.

شکل های (۸) تا (۱۱) که به ترتیب نمایان گر نتایج ردیابی موقعیت، وضعیت، ورودی های کنترلی و حرکت سه بعدی مشاهده می گردد که کنترل کننده خطی سازی فیدبک عملکرد مناسبی ندارد و سیستم خطای زیاد دارد که به واگرایی نیز نزدیک می گردد ولی در حالت کنترل خطی سازی فیدبک تطبیقی با تخمین نامعینی، کنترل اصلاح شده و ردیابی به خوبی انجام می شود.

جدول (۱): پارامترهای استفاده شده برای کوادروتور گام متغیر

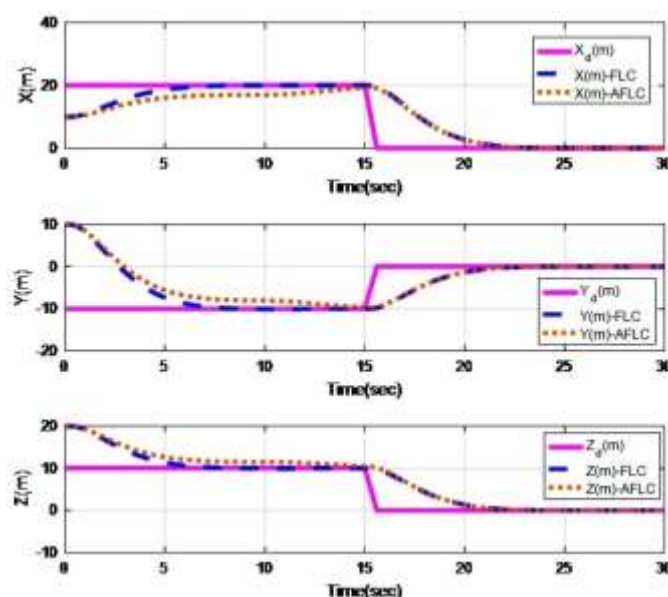
پارامتر	مقدار
m	2.5 kg
R	0.18 m
c	0.03 m
d	0.3 m
$c_{l\alpha}$	5.23
N_b	2
Ω	282.7 rad/sec
I_x	$2 \times 10^{-3} \text{ kg.m}^2$
I_y	$2 \times 10^{-3} \text{ kg.m}^2$
I_z	$2 \times 10^{-3} \text{ kg.m}^2$
g	$9.81(\text{m/s}^2)$

نتایج شبیه سازی نتایج شبیه سازی کنترل خطی سازی فیدبک و خطی سازی فیدبک تطبیقی برای کوادروتور گام متغیر

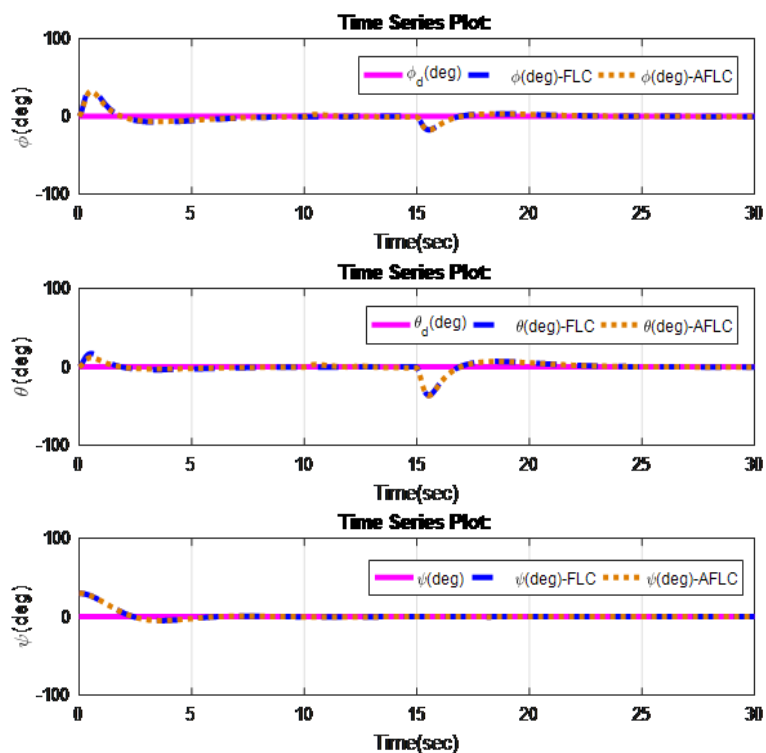
در این بخش نتایج شبیه سازی کنترل کننده خطی سازی فیدبک و کنترل کننده خطی سازی فیدبک تطبیقی کوادروتور گام متغیر ارائه می شود. جدول (۱) نشان دهنده پارامترهای استفاده شده برای کوادروتور گام متغیر است.

در شکل های (۴)، (۵)، (۶) و (۷) به ترتیب نمودارهای مربوط به کنترل موقعیت، وضعیت کوادروتور، ورودی های کنترلی و نمایش سه بعدی ردیابی مسیر توسط کنترل خطی سازی فیدبک و خطی سازی فیدبک تطبیقی نشان داده شده است. همان طور که در شکل های (۴) و (۵) دیده می شود ردیابی توسط هر دو کنترل کننده به خوبی صورت گرفته است.

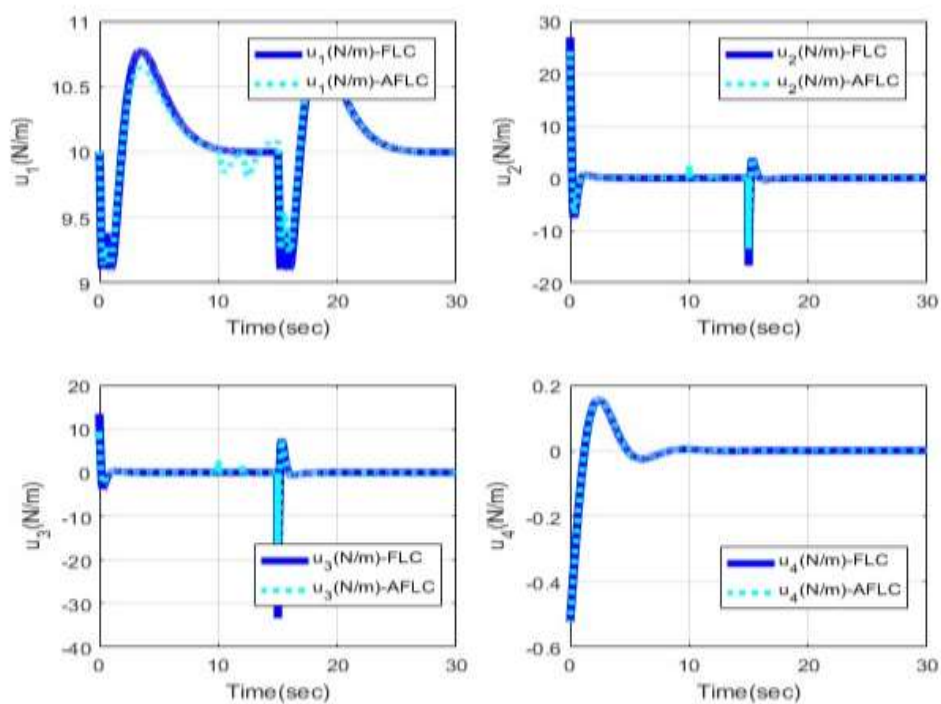
برای مقایسه ی بهتر عملکرد کنترل کننده تطبیقی و نمایان شدن مزیت آن نسبت به حالت استاندارد در میانه حرکت (زمان ۱۵ ثانیه)، جرم جسم از ۲٫۵ کیلوگرم به ۱٫۵ کیلوگرم کاهش داده شده و با توجه به



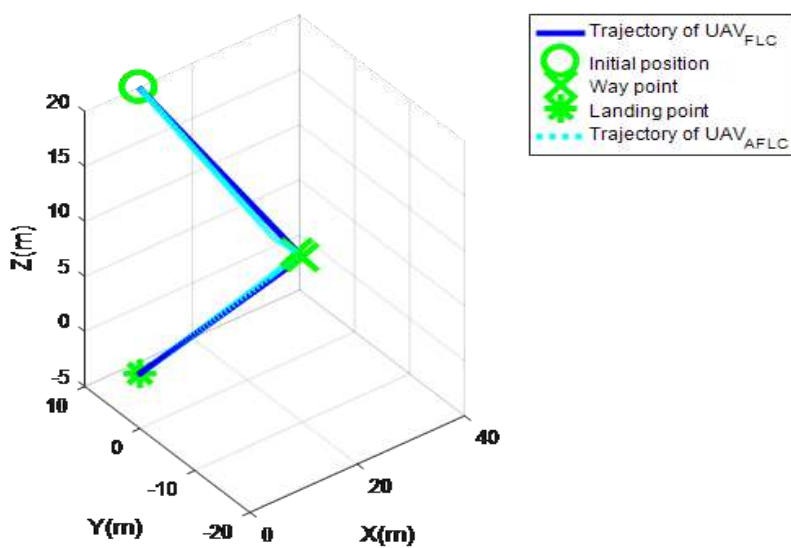
شکل ۴ ردیابی موقعیت با کنترل کننده های خطی سازی فیدبک و خطی سازی فیدبک تطبیقی



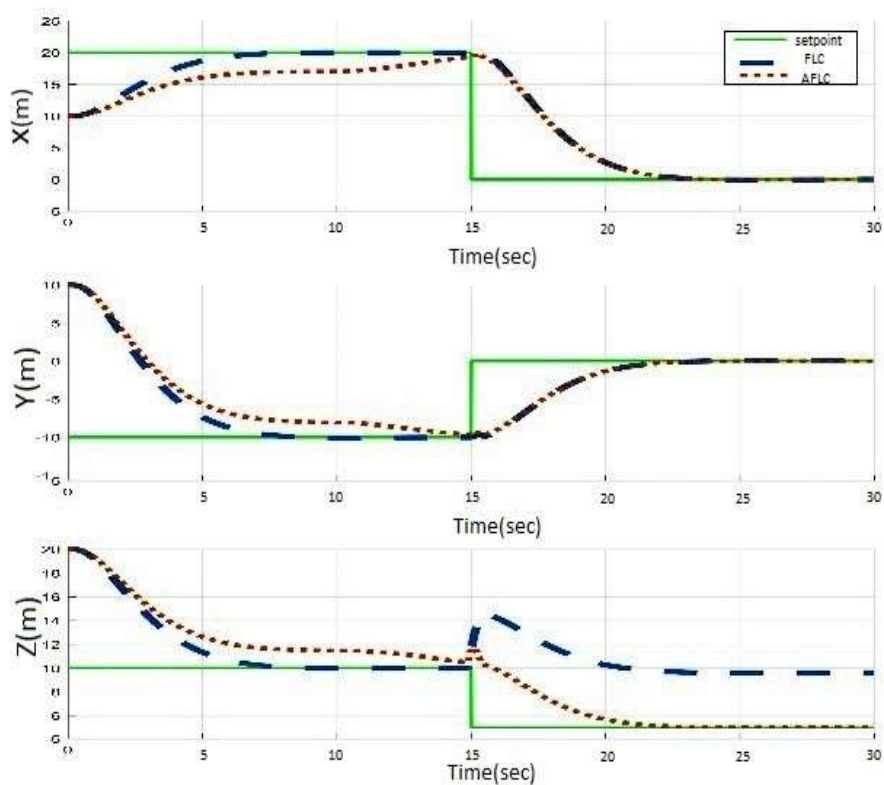
شکل (۵): ردیابی وضعیت با کنترل‌کننده‌های خطی‌سازی فیدبک و خطی‌سازی فیدبک تطبیقی



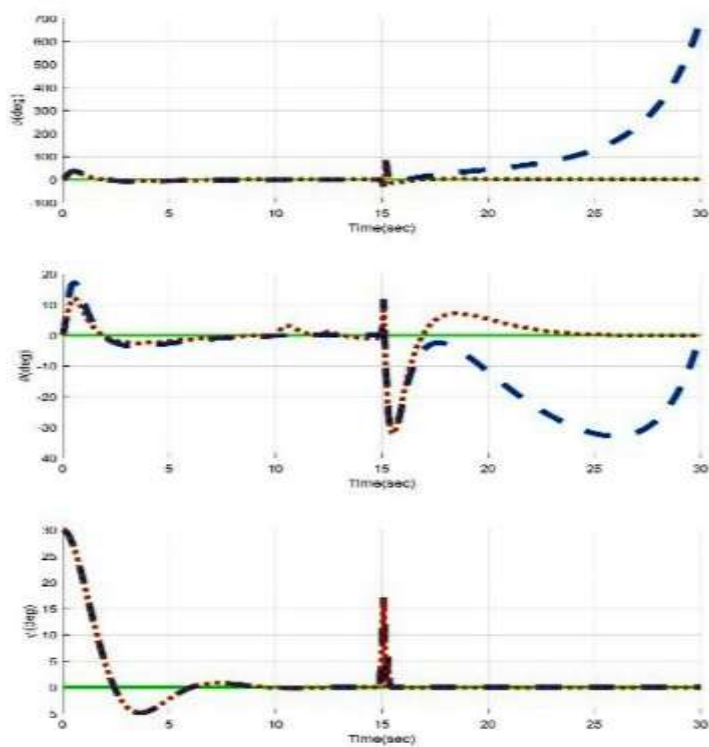
شکل (۶): ورودی‌های کنترلی با کنترل‌کننده‌های خطی‌سازی فیدبک و خطی‌سازی فیدبک تطبیقی



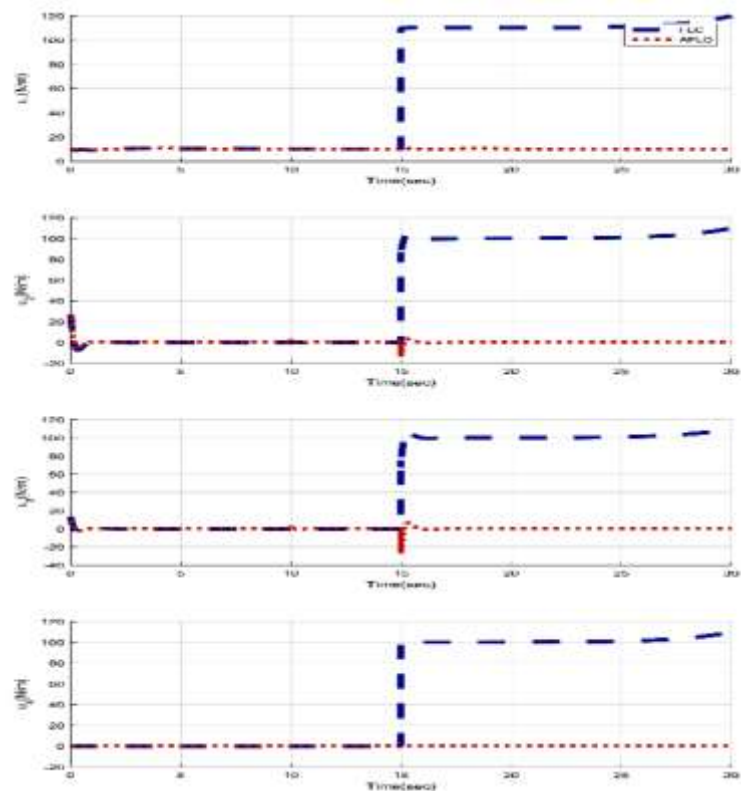
شکل (۷): مسیر کوادروتور در حالت سه‌بعدی با کنترل کننده‌های خطی سازی فیدبک و خطی سازی فیدبک تطبیقی



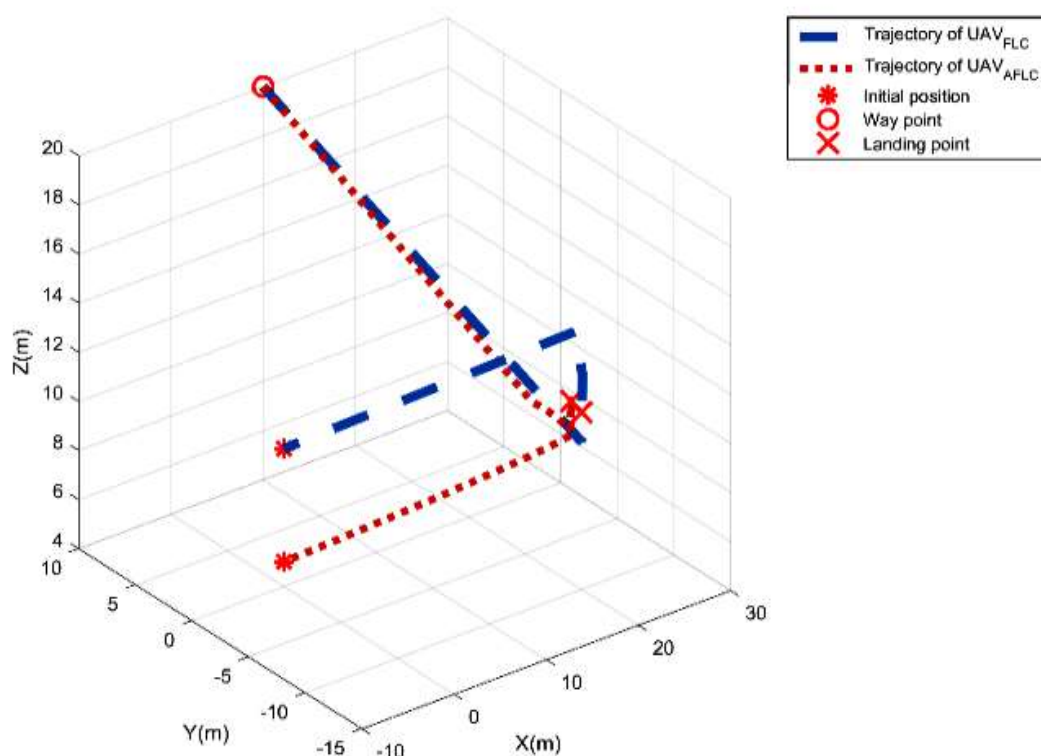
شکل (۸): ردیابی موقعیت با کنترل کننده‌های خطی سازی فیدبک و خطی سازی فیدبک تطبیقی با تغییر در جرم جسم



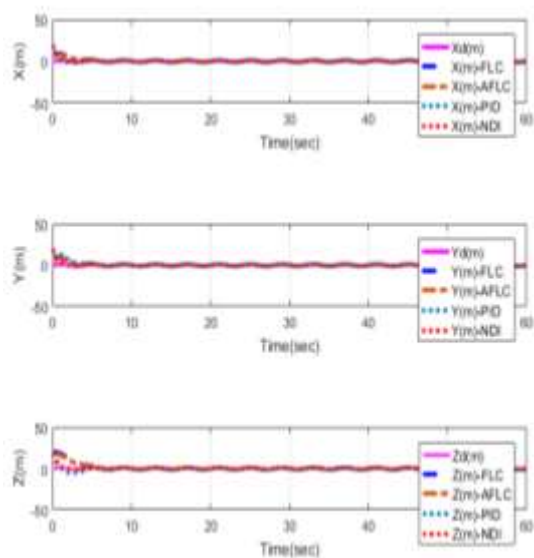
شکل (۹): ردیابی وضعیت با کنترل‌کننده‌های خطی‌سازی فیدبک و خطی‌سازی فیدبک تطبیقی با تغییر در جرم جسم



شکل (۱۰): ورودی‌های کنترلی با کنترل‌کننده‌های خطی‌سازی فیدبک و خطی‌سازی فیدبک تطبیقی با تغییر در جرم جسم



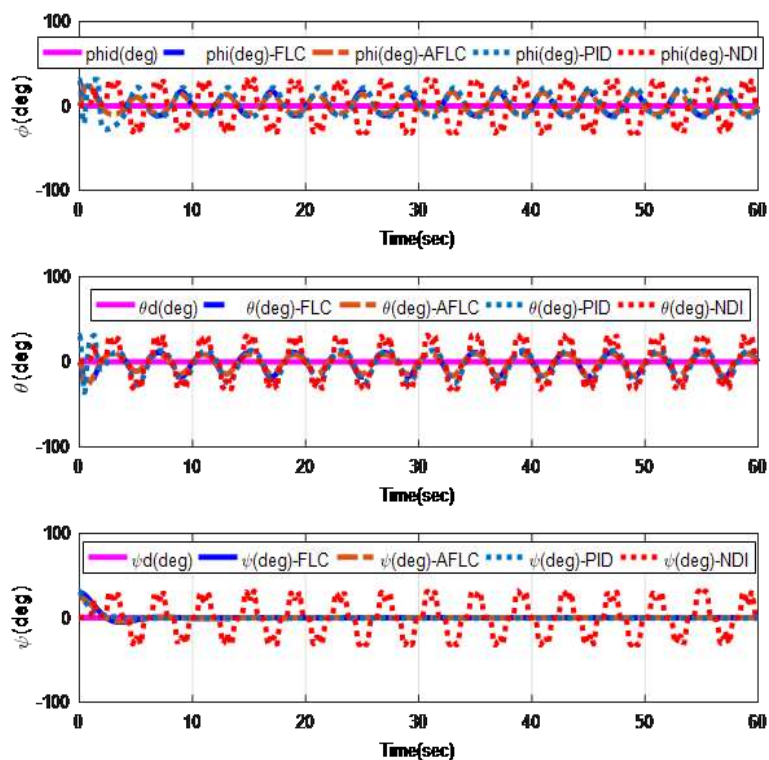
شکل (۱۱): مسیر کوادروتور در حالت سه‌بعدی با کنترل کننده‌های خطی سازی فیدبک و خطی سازی فیدبک تطبیقی با تغییر در جرم جسم



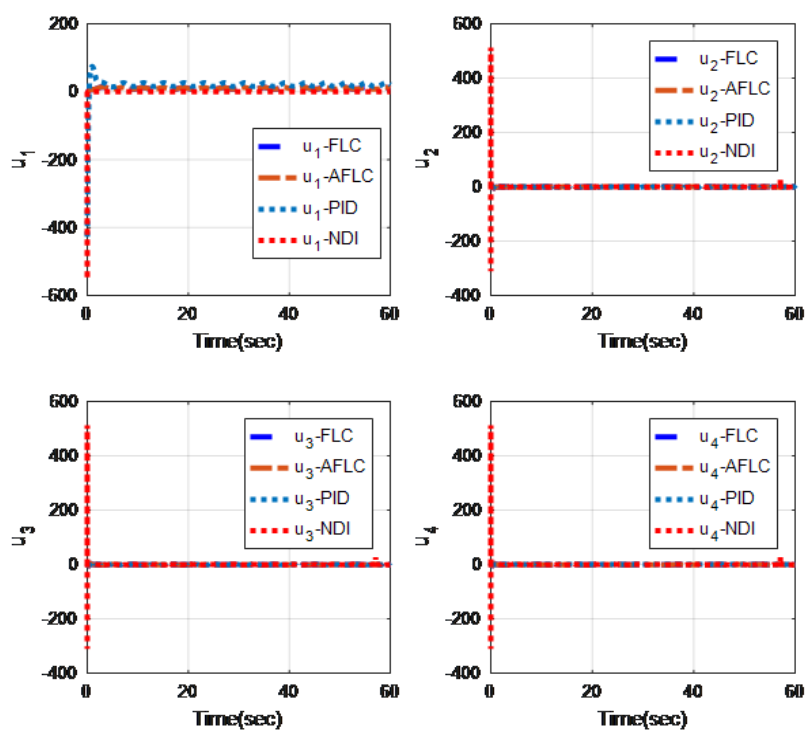
شکل (۱۲): ردیابی موقعیت با کنترل کننده‌های خطی سازی فیدبک و خطی سازی فیدبک تطبیقی و کنترل کننده‌های PID و NID

مقایسه نتایج شبیه‌سازی با کنترل کننده‌های PID و دینامیک معکوس غیرخطی

در این بخش جهت بررسی بهتر عملکرد کنترل کننده‌های طراحی شده، نتایج شبیه‌سازی با نتایج کنترل کننده‌های PID و NID [2] مقایسه شده‌اند. در شکل‌های (۱۲) تا (۱۴) به ترتیب ردیابی موقعیت، وضعیت، ورودی‌های کنترلی کوادروتور گام متغیر با کنترل کننده‌های خطی سازی فیدبک و خطی سازی فیدبک تطبیقی و PID و NID (دینامیک معکوس غیرخطی) نشان داده شده است. مشاهده می‌شود که کنترل کننده‌های خطی سازی فیدبک و خطی سازی فیدبک تطبیقی عملکرد بهتری نسبت به کنترل کننده‌های PID و NID دارند.



شکل (۱۳): ردیابی ۱ وضعیت با کنترل‌کننده‌های خطی سازی فیدبک و خطی سازی فیدبک تطبیقی و کنترل‌کننده‌های PID و NID



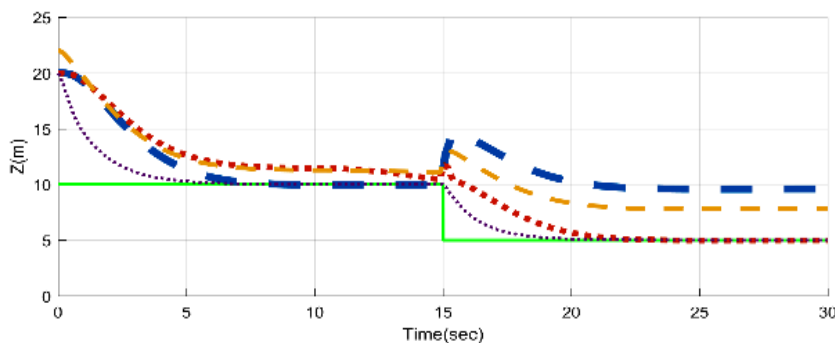
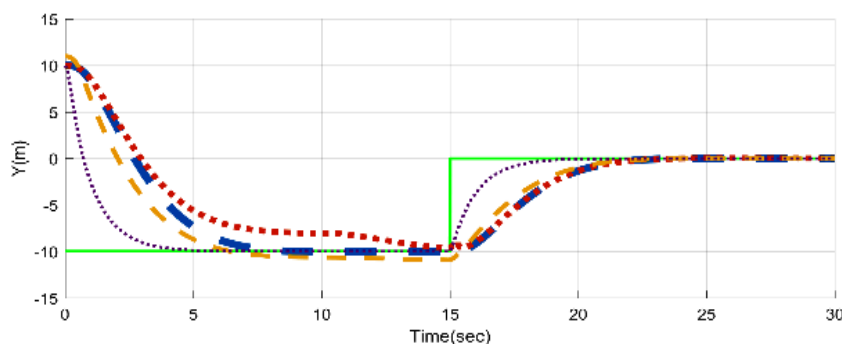
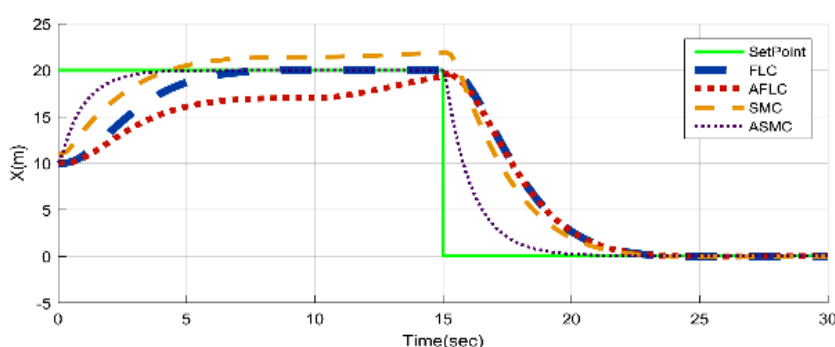
شکل (۱۴): ورودی‌های کنترلی با کنترل‌کننده‌های خطی سازی فیدبک و خطی سازی فیدبک تطبیقی و کنترل‌کننده‌های PID و NID

مقایسه نتایج شبیه‌سازی با کنترل کننده‌های

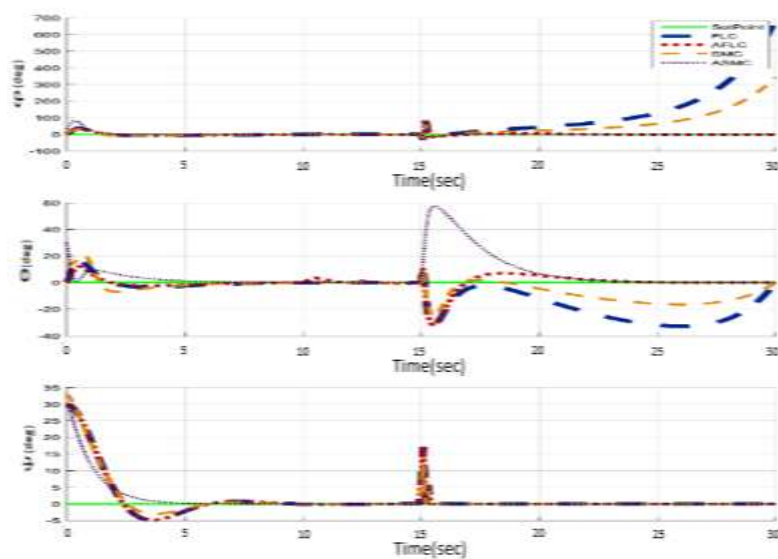
مدل‌غزشی و مدل‌غزشی تطبیقی

در این بخش جهت بررسی بهتر عملکرد کنترل کننده‌های طراحی شده، نتایج شبیه‌سازی در حالتی که جرم جسم در میانه حرکت از ۲,۵ کیلوگرم به ۱,۵ کیلوگرم کاهش یافته است با نتایج کنترل کننده‌های مدل‌غزشی و مدل‌غزشی تطبیقی مقایسه شده‌اند. در شکل‌های (۱۵) تا (۱۷) به ترتیب ردیابی موقعیت،

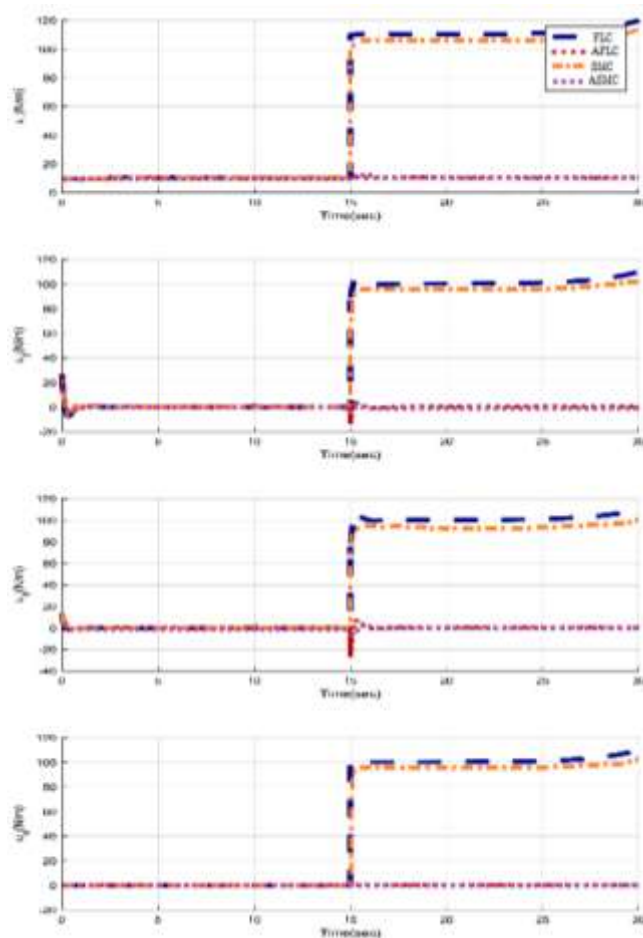
وضعیت، ورودی‌های کنترلی کوادروتور گام متغیر با کنترل کننده‌های خطی‌سازی فیدبک و خطی‌سازی فیدبک تطبیقی و مدل‌غزشی و مدل‌غزشی تطبیقی نشان داده شده است. مشاهده می‌شود که کنترل کننده‌های خطی‌سازی فیدبک تطبیقی و مدل‌غزشی تطبیقی عملکرد بهتری نسبت به کنترل کننده‌های خطی‌سازی فیدبک و مدل‌غزشی دارند.



شکل (۱۵): ردیابی موقعیت با کنترل کننده‌های خطی‌سازی فیدبک و خطی‌سازی فیدبک تطبیقی و کنترل کننده‌های مدل‌غزشی و مدل‌غزشی تطبیقی با تغییر در جرم جسم



شکل (۱۶): ردیابی وضعیت با کنترل کننده‌های خطی سازی فیدبک و خطی سازی فیدبک تطبیقی و کنترل کننده‌های مد لغزشی و مد لغزشی تطبیقی با تغییر در جرم جسم



شکل (۱۷): ورودی‌های کنترلی با کنترل کننده‌های خطی سازی فیدبک و خطی سازی فیدبک تطبیقی و کنترل کننده‌های مد لغزشی و مد لغزشی تطبیقی با تغییر در جرم جسم

نتیجه گیری

در این مقاله به تجزیه و تحلیل و کنترل پرواز یک کوادروتور گام متغیر پرداخته شد. در مقایسه با یک کوادروتور گام ثابت، این قابلیت‌ها تا حد زیادی امکان مانورهای تهاجمی و آکروباتیک را افزایش می‌دهد که نشان‌دهنده بهبود عملکرد نسبت به کوادروتور گام ثابت است.

در ادامه این مقاله کنترل کننده‌های خطی سازی فیدبک و خطی سازی فیدبک تطبیقی مستقیم معرفی شد. کنترل کننده خطی سازی فیدبک طراحی شده عملکرد خوبی داشته و ردیابی موقعیت و وضعیت کوادروتور گام متغیر با استفاده از این کنترل کننده به درستی صورت گرفته است. کنترل کننده خطی سازی فیدبک مستقیم معرفی شده نیز به طور خودکار پارامترها را برای دستیابی به ردیابی دقیق، تغییر می‌دهد. با استفاده از نظریه لیاپانف ثابت شده است که این کنترل کننده پایدار است. نتایج شبیه سازی نشان می‌دهد که اتخاذ این راهبرد تطبیقی اجازه می‌دهد تا کوادروتور جهت گیری‌های زمان متغیر و دستورات ارتفاع را به طور دقیق‌تری، در حضور اغتشاشات و یا خطاهای پارامتر، در مقایسه با کنترل کننده‌های خطی سازی فیدبک غیر تطبیقی، دنبال کند. رویکرد تطبیقی نیز نتایج مطلوبی برای ردیابی موقعیت و وضعیت کوادروتور گام متغیر داشته است. در آخر نیز نتایج حاصل از کنترل کننده‌های خطی سازی فیدبک و خطی سازی فیدبک تطبیقی با کنترل کننده‌های PID مقایسه شده است که مشاهده می‌شود کنترل کننده‌های خطی سازی فیدبک و خطی سازی فیدبک تطبیقی دارای عملکرد بهتری در ردیابی مسیر مرجع و کاهش خطای ردیابی هستند و همچنین نتایج

حاصل از کنترل کننده‌های خطی سازی فیدبک و خطی سازی فیدبک تطبیقی با کنترل کننده‌های مدلغزشی و مد لغزشی تطبیقی نیز در شرایط تغییر جرم کوادروتور مقایسه شده است که مشاهده می‌شود کنترل کننده‌های خطی سازی فیدبک تطبیقی و مدلغزشی تطبیقی، دقت بالایی در ردیابی مسیر مرجع داشته و خطای ردیابی موقعیت و وضعیت خیلی کمی دارند که نشان می‌دهد عملکرد بهتری نسبت به حالت غیر تطبیقی داشته‌اند.

واژه نامه

Virtual Reference Feedback Tuning	تنظیم فیدبک مرجع مجازی
Correlation – Based Tuning	تنظیم بر اساس همبستگی
Proportional Derivative	تناسبی - مشتقی
Linear Quadratic Regulator	تنظیم کننده درجه دو خطی
Proportional-Integral-Derivative	تناسبی - انتگرالی - مشتقی
Nonlinear Inverse Dynamics	دینامیک معکوس غیرخطی
Six Degrees of Freedom	شش درجه آزادی
Roll, Pitch, Yaw	رول، پیچ، یاو

مراجع

1. Cutler, M., Ure, N. K., Michini, B., and How, J. "Comparison of fixed and variable pitch actuators for agile quadrotors", *AIAA Guidance, Navigation, and Control Conference*, pp. 6406, (2011).

2. Cutler, M. J., "Design and control of an autonomous variable-pitch quadrotor helicopter", Doctoral dissertation, Massachusetts Institute of Technology, Department of Aeronautics and Astronautics, (2012).
3. Cutler, M., and How, J. "Actuator constrained trajectory generation and control for variable-pitch quadrotors" *In AIAA Guidance, Navigation, and Control Conference*, pp. 4777, (2012).
4. Kawasaki, K., Zhao, M., Okada, K., and Inaba, M. "MUWA: Multi-field universal wheel for air-land vehicle with quad variable-pitch propellers", *IEEE/RSJ International Conference on Intelligent Robots and Systems*, pp. 1880-1885. IEEE, (2013).
5. Panizza, Pietro, Davide Invernizzi, Fabio Riccardi, Simone Formentin, and Marco Lovera. "Data-driven attitude control law design for a variable-pitch quadrotor", *American Control Conference (ACC)*, pp. 4434-4439. IEEE, (2016).
6. Riccardi, F., and Marco, L., "Robust attitude control for a variable-pitch quadrotor", *IEEE Conference on Control Applications (CCA)*, IEEE, (2014).
7. Invernizzi, D., Panizza, P., Riccardi, F., Formentin, S., & Lovera, M. "Data-driven attitude control law of a variable-pitch quadrotor: a comparison study", *IFAC-Papers OnLine*, Vol. 49, No. 17, pp. 236-241, (2016).
8. Riccardi, Fabio, Muhammad Farooq Haydar, Simone Formentin, and Marco Lovera. "Control of variable-pitch quadrotors." *IFAC Proceedings*, Vol. 46, No. 19, pp. 206-211, (2013).
9. Pang, Tao, Kemaog Peng, Feng Lin, and Ben M. Chen. "Towards long-endurance flight: Design and implementation of a variable-pitch gasoline-engine quadrotor." *12th IEEE International Conference on Control and Automation (ICCA)*, pp. 767-772. IEEE, (2016).
۱۰. مدیر روستا، ع. و خدابنده، م. «طراحی یک روش کنترل مد لغزشی انتگرالی تطبیقی برای پایداری سازی زمان محدود و مقاوم پرنده چهارمیلخه»، مجله مهندسی برق تبریز، دوره ۴۶، شماره ۱، صفحات ۳۲۱-۳۳۲. (بهار ۱۳۹۵).
۱۱. وحدانی پور، م. و خدابنده، م. «کنترل مد لغزشی مبتنی بر روش برگشت به عقب کوادروتور با حذف اثر اغتشاش بار و تخمین اینرسی به روش تطبیقی»، مجله مهندسی برق تبریز، دوره ۴۷، شماره ۲، صفحات ۷۷۵-۷۸۳. (تابستان ۱۳۹۶).
12. Benallegue, A., Mokhtari, A., and Fridman, L., "Feedback linearization and high order sliding mode observer for a quadrotor UAV", *In International Workshop on Variable Structure Systems, VSS'06*, pp. 365-372, IEEE, (2006).
13. Shulong, Z., Honglei, A., Daibing, Z. and Lincheng, S., "A new feedback linearization lqr control for attitude of quadrotor", *13th International Conference on Control Automation Robotics & Vision (ICARCV)*, pp. 1593-1597, IEEE, (2014).

14. Cömert, C., and Coşku, K., "Comparing and Developing PID and Sliding Mode Controllers for Quadrotor", *International Journal of Mechanical Engineering and Robotics Research*, Vol.6, No. 3, pp. 194-199, (2017).
15. Bouabdallah, S., and Roland, S., "Backstepping and sliding-mode techniques applied to an indoor micro quadrotor", *Proceedings of the 2005 IEEE International Conference on Robotics and Automation*, pp. 2247-2252, IEEE, (2005).
16. Madani, T., and Abdelaziz, B., "Backstepping control for a quadrotor helicopter", *IEEE/RSJ International Conference on Intelligent Robots and Systems*, pp. 3255-3260, IEEE, (2006).
17. Dydek, Z., Anuradha, A., and Eugene, L., "Combined/composite adaptive control of a quadrotor UAV in the presence of actuator uncertainty", *AIAA Guidance, Navigation, and Control Conference*, pp. 7575, (2010).
18. Lee, D., Jin Kim, H, and Shankar, S., "Feedback linearization vs. adaptive sliding mode control for a quadrotor helicopter", *International Journal of Control, Automation and Systems*, Vol. 7, No.3, pp. 419-428, (2009).
19. Das, A., Kamesh, S., and Frank, L., "Dynamic inversion with zero-dynamics stabilisation for quadrotor control", *IET Control Theory & Applications*, Vol. 3, No. 3, pp. 303-314, (2009).
20. Ghandour, J., Samir, A., and Jean-Christophe, P., "Feedback linearization approach for standard and fault tolerant control: Application to a quadrotor UAV testbed", *Journal of Physics: Conference Series*, Vol. 570, No. 8, IOP Publishing, (2014).
21. Cutler, M., and Jonathan P. H., "Analysis and control of a variable-pitch quadrotor for agile flight", *Journal of Dynamic Systems, Measurement, and Control*, Vol. 137, No. 10, (2015).
22. Abhishek, R.G., Duhoon, A., Kothari, M., Kadukar, S., Rane, L. and Suryavanshi, G. "Design, Development, and Closed-loop Flight-Testing of a Single Power Plant Variable Pitch Quadrotor Unmanned Air Vehicle", *Proceedings of 73rd American Helicopter Society Annual Forum*, pp. 9-11, (2017).
23. Gupta, N. and Kothari, M., "Flight dynamics and nonlinear control design for variable-pitch quadrotors", *American Control Conference (ACC)*, pp. 3150-3155. IEEE, (2016).
24. Gupta, N. and Kothari, M., "Modeling and Control of Inverted Flight of a Variable-Pitch Quadrotor", arXiv preprint arXiv: 1709.06407, (2017).
25. Chipade, V.S., Abhishek, A. and Kothari, M., "Advanced Flight Dynamic Modelling of Variable Pitch Quadrotor", *2018 AIAA Atmospheric Flight Mechanics Conference*, pp. 1763, (2018).
26. Pretorius, A., and Edward, B., "Design and modelling of a quadrotor helicopter with variable pitch rotors for aggressive manoeuvres", *IFAC Proceedings* Vol. 47, No. 3, pp. 12208-12213, (2014).

27. Cutler, M.J., "Design and control of an autonomous variable-pitch quadrotor helicopter", Diss. Massachusetts Institute of Technology, Department of Aeronautics and Astronautics, (2012).
28. Fresk, E., "Modeling, control and experimentation of a variable pitch quadrotor", Master thesis, Department of Computer science, Electrical and Space Engineering, Luleå University of Technology, Sweden, (2013).
29. Simha, A., Sharvaree, V., and Smyendu, R., "Almost-Global Exponential Tracking of a Variable Pitch Quadrotor on SE (3)", *IFAC-PapersOnLine* 50, No. 1, pp.10268-10273, (2017).
30. Fang, Z., Zhi, Z., Jun, L. and Jian, W., "Feedback linearization and continuous sliding mode control for a quadrotor UAV", *27th Chinese Control Conference, CCC 2008*, pp. 349-353, IEEE, (2008).
31. Mukherjee, P. and Waslander, S., "Direct adaptive feedback linearization for quadrotor control", *AIAA Guidance, Navigation, and Control Conference*, pp. 4917, (2012).
32. Shastri, A. K., Pattanaik, A., and Kothari, M., "Neuro-adaptive Control for Quadrotors", *Proceedings of the Fourth International Conference on Advances in Control and Optimization of Dynamical Systems (ACODS 2016)*, Tiruchirappalli, India, *IFAC-PapersOnLine*, Vol. 49, No. 1, pp.302-307 (2016).